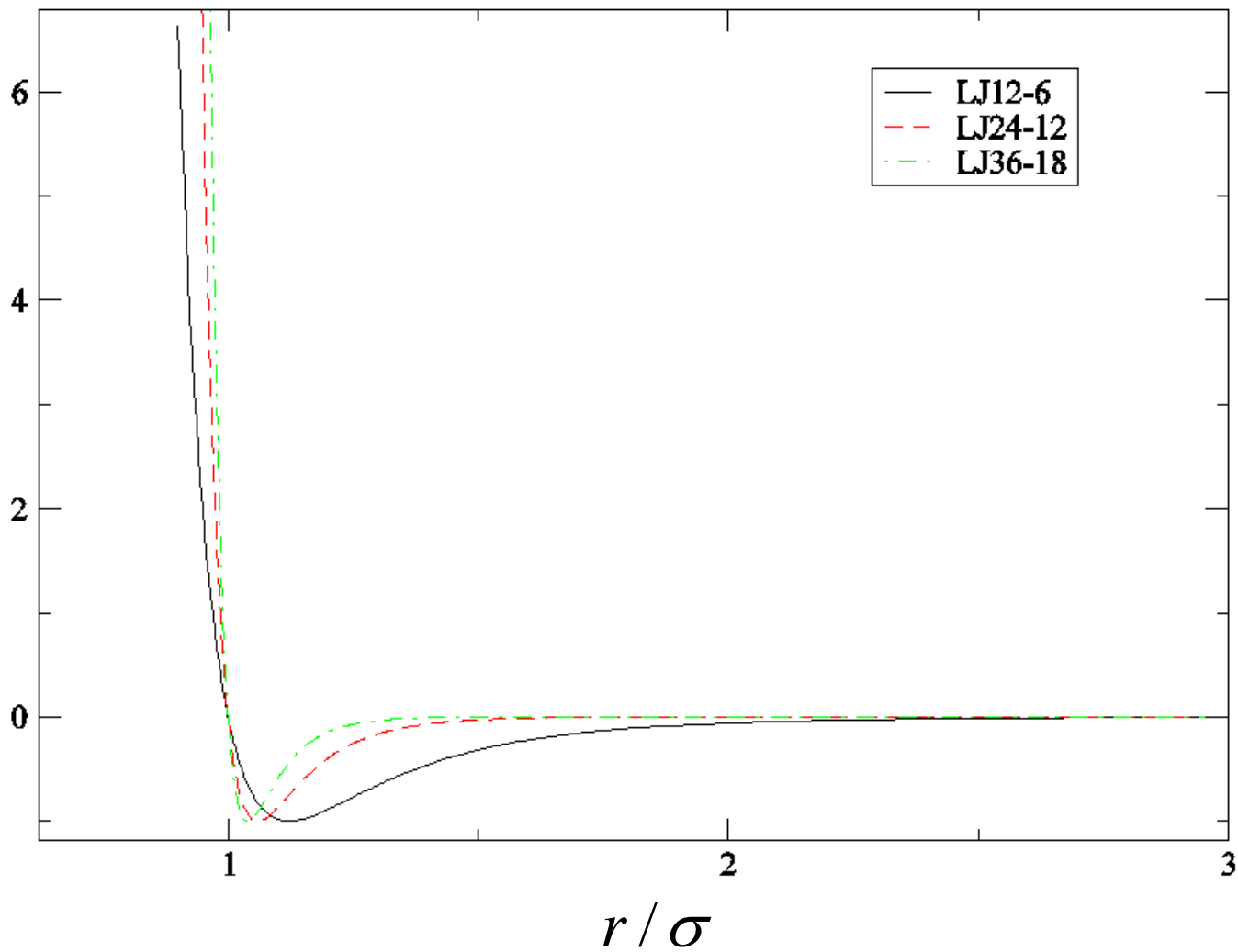
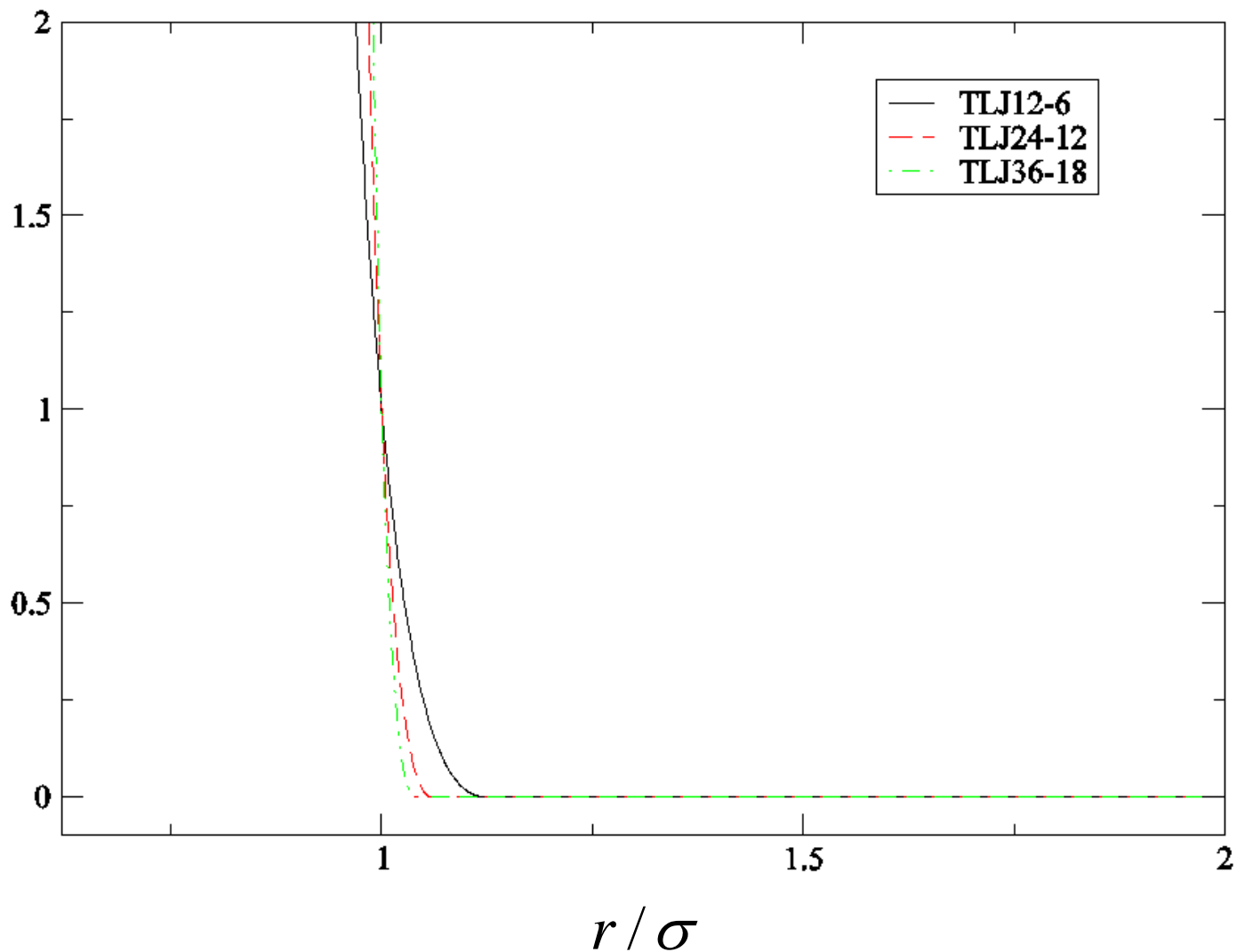


$V(r)$



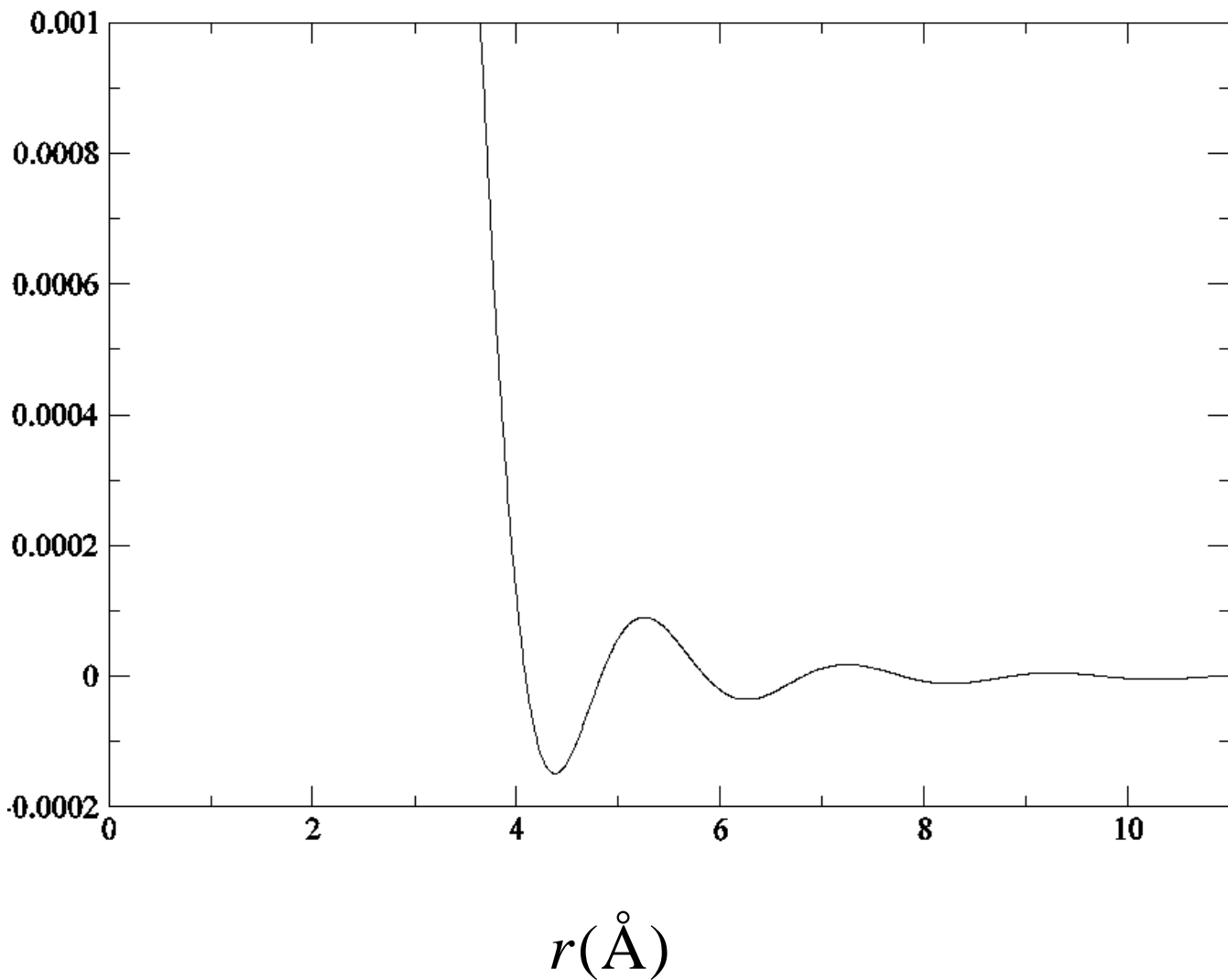
圖一、Lennard-Jones $2n-n$ 粒子作用位能函數圖

$V(r)$

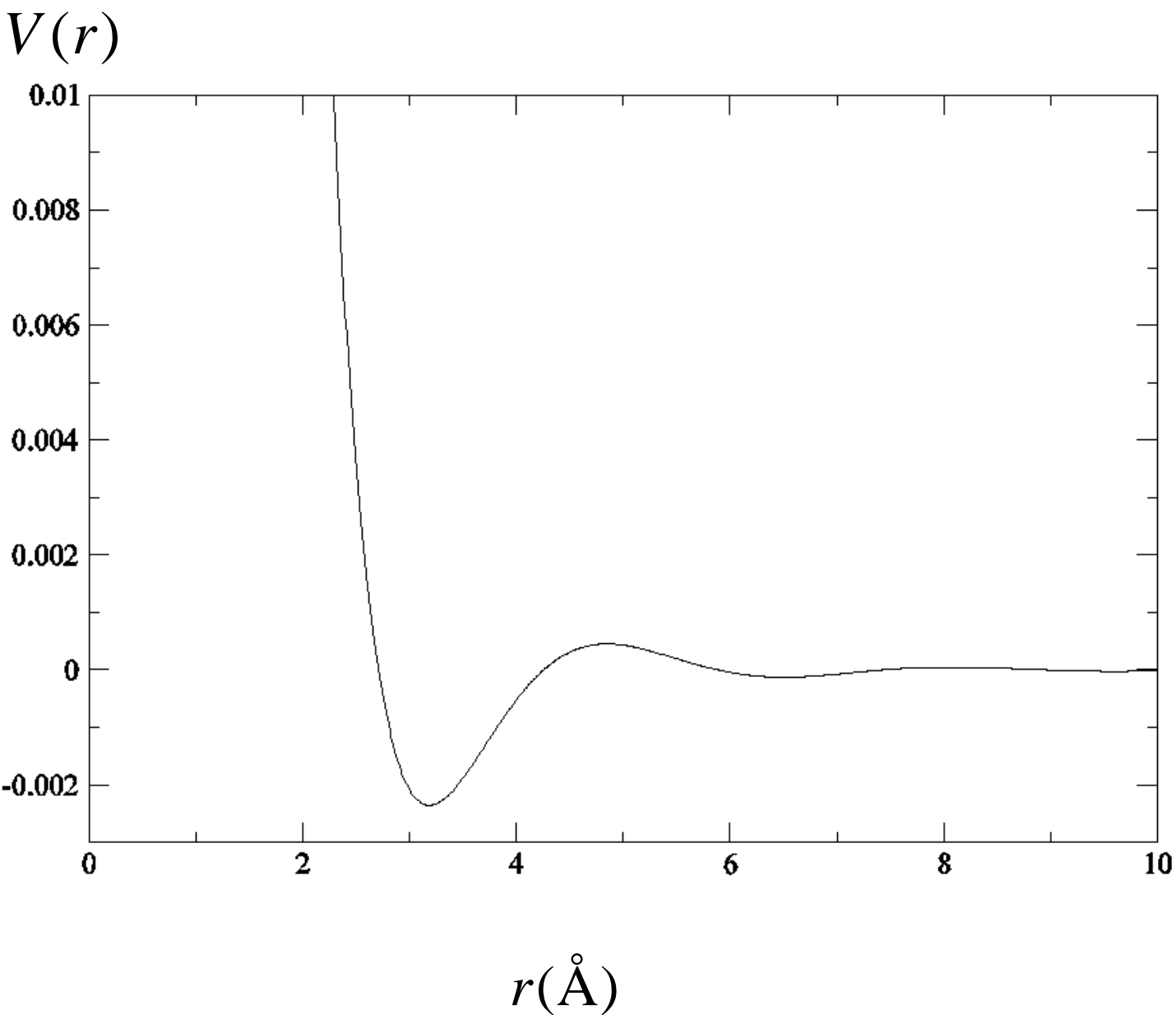


圖二、 Truncated Lennard-Jones $2n-n$ 粒子作用位能函數圖

$V(r)$

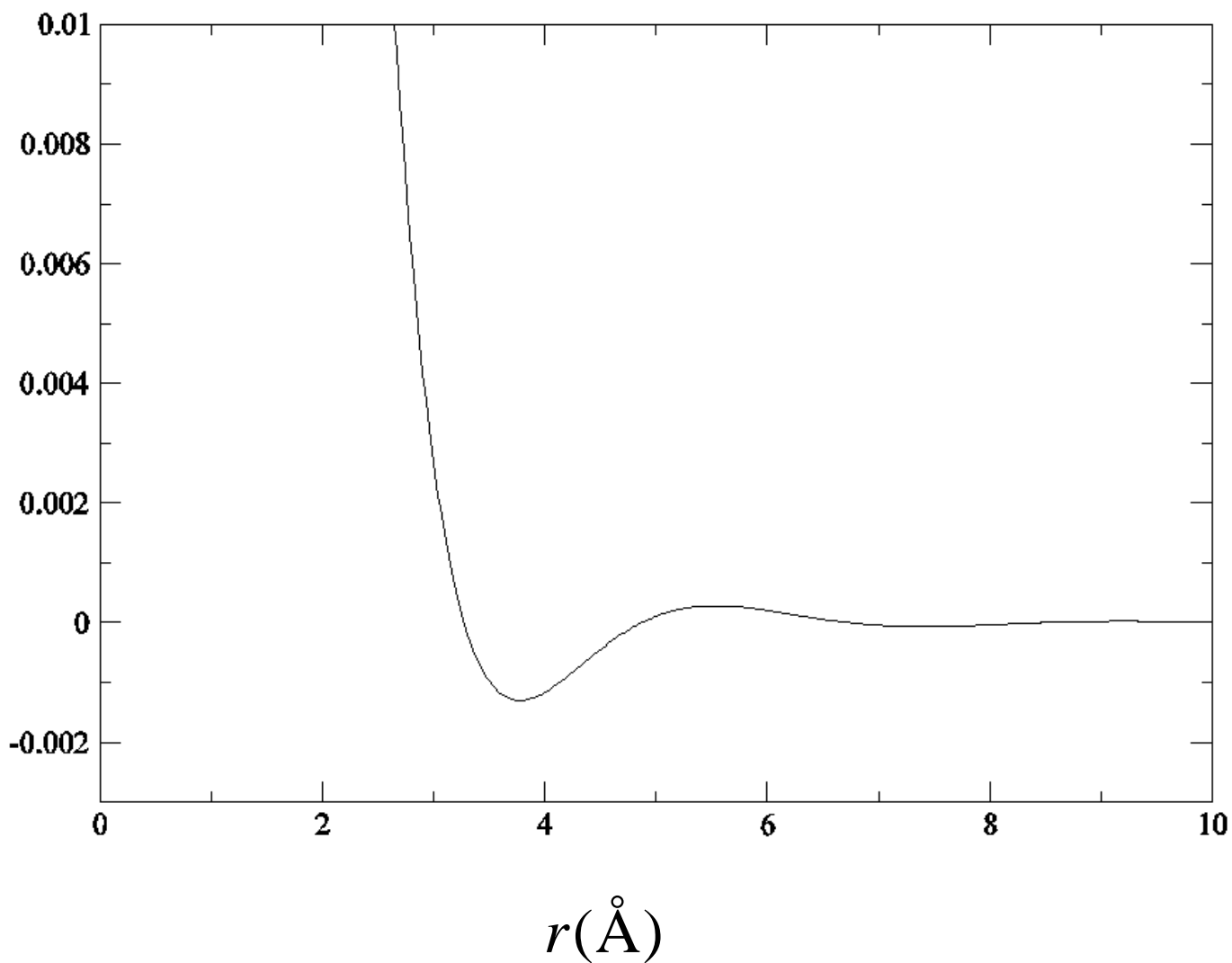


圖三、鎂假位能函數圖(T= 973K)

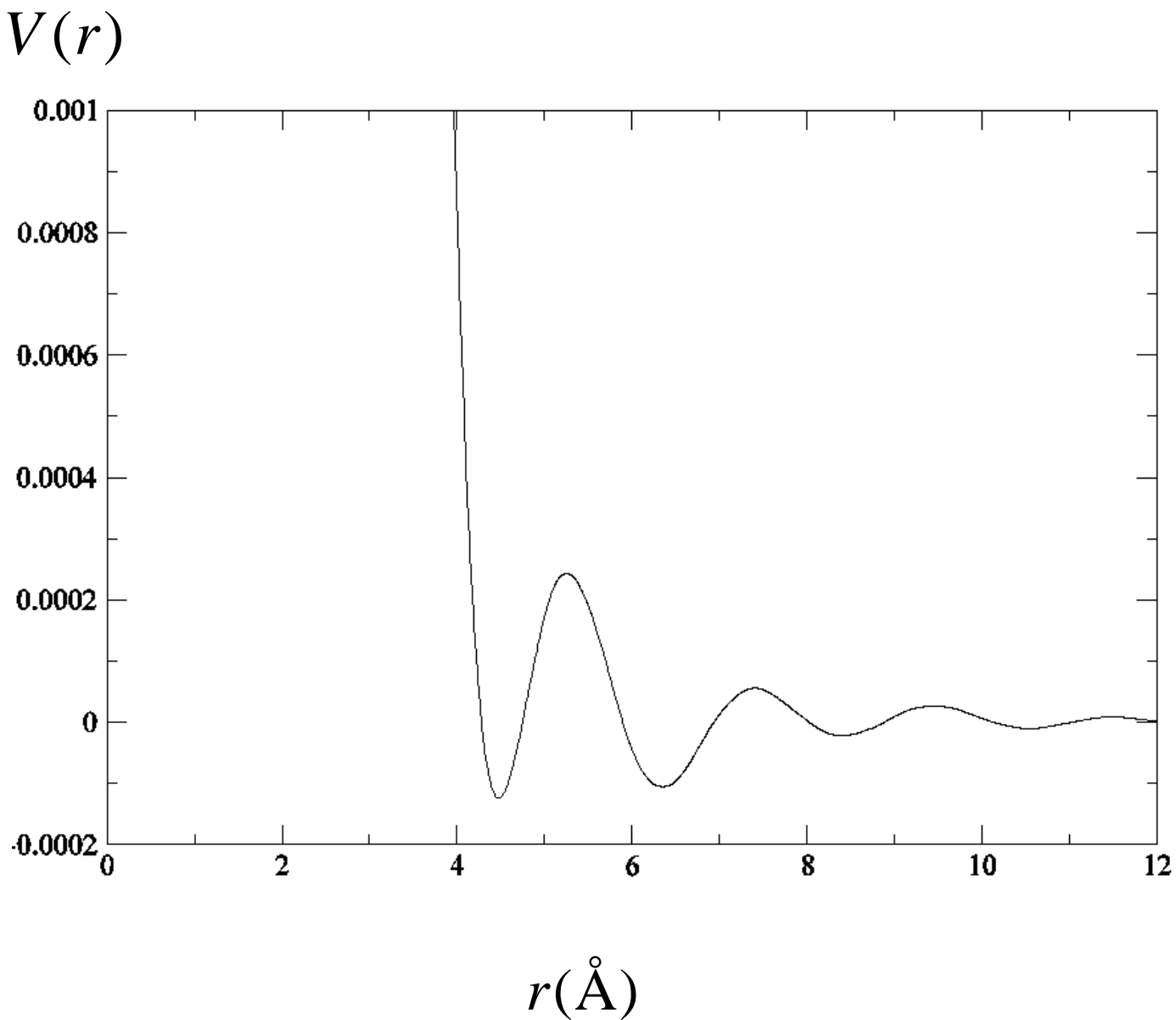


圖四、鋰假位能函數圖 (T=573 K)

$V(r)$

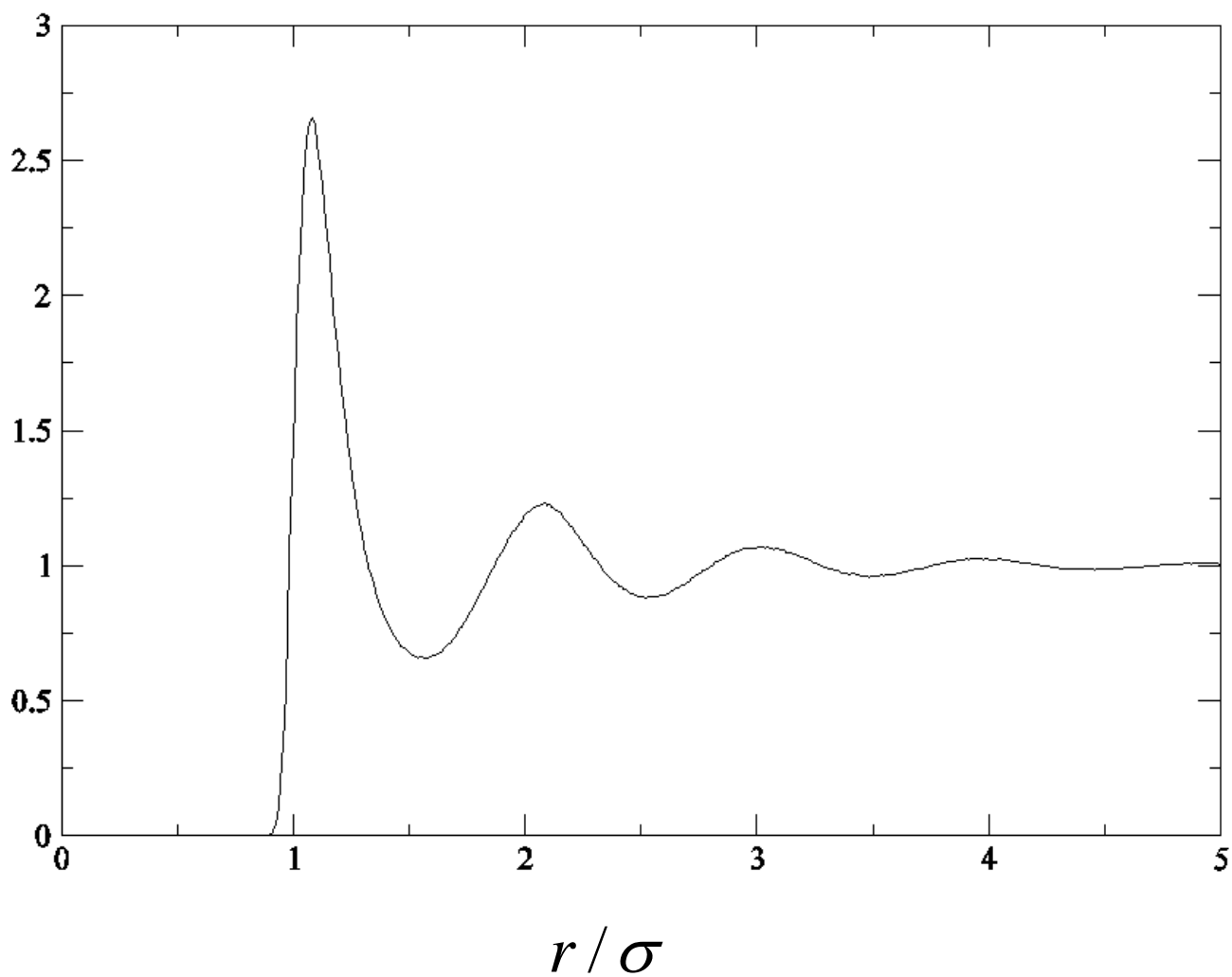


圖五、鈉假位能函數圖(T=723 K)

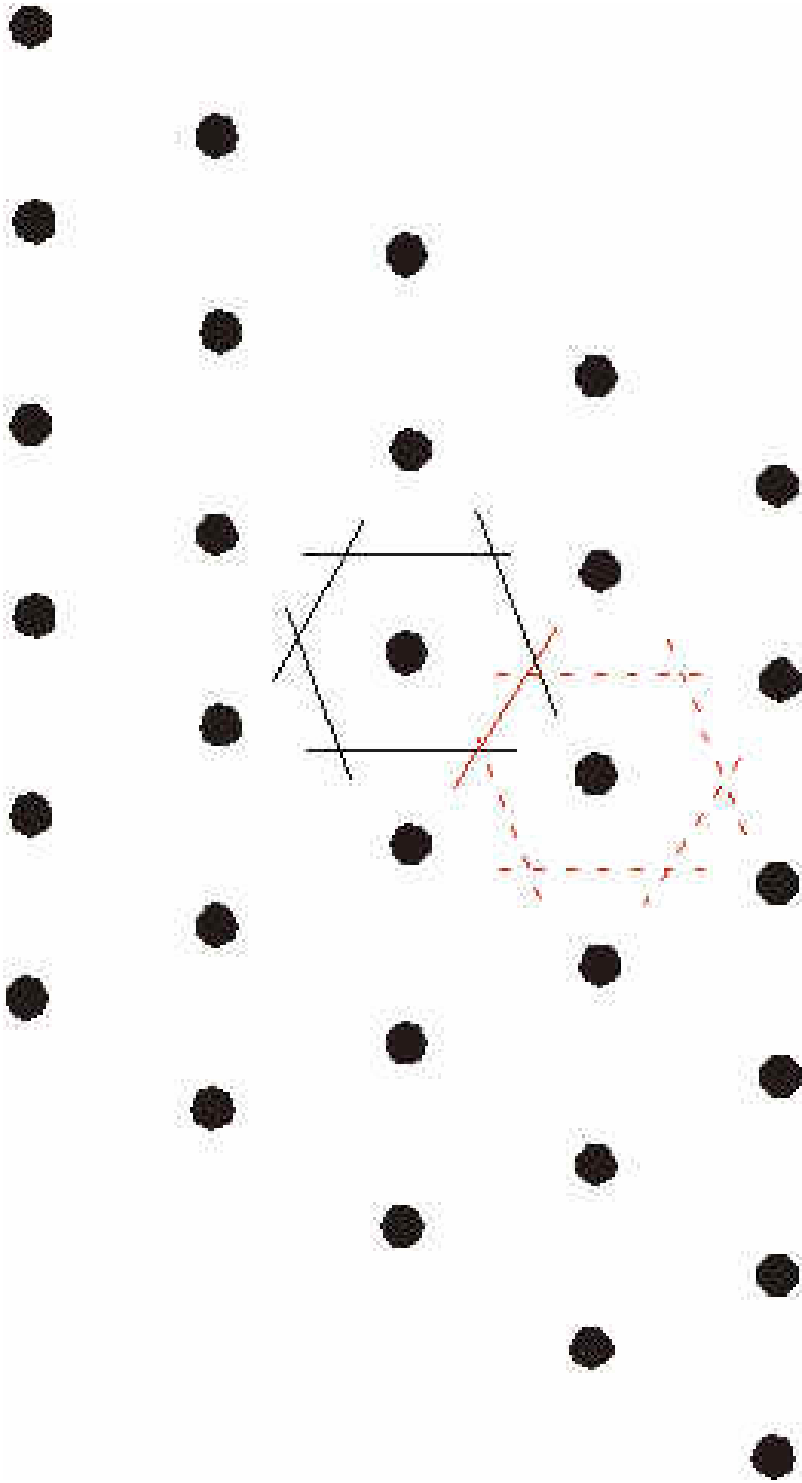


圖六、鉛假位能函數圖(T=823 K)

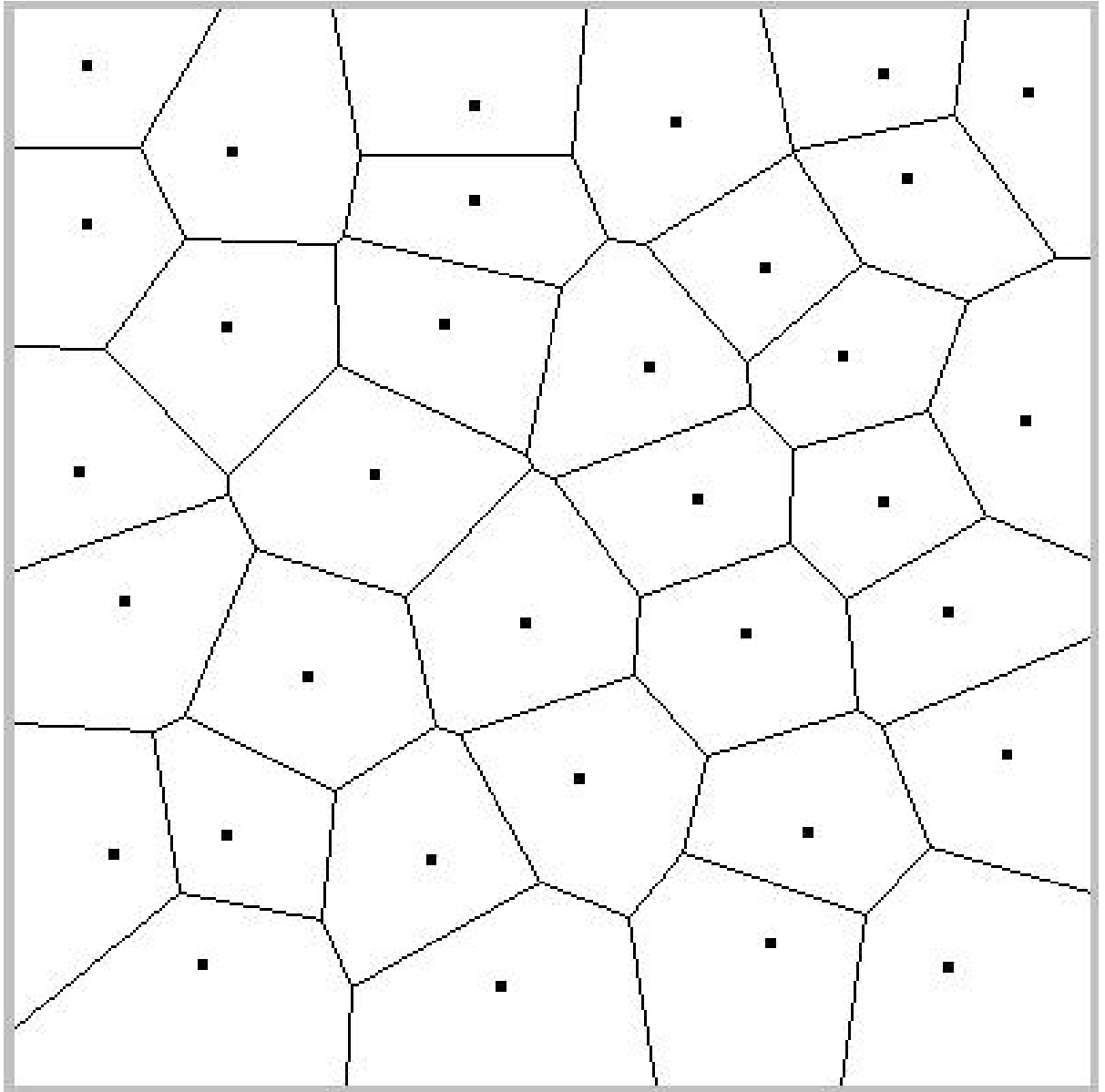
$g(r)$



圖七、粒子徑向分佈函數 $g(r)$ 和 r 的關係圖

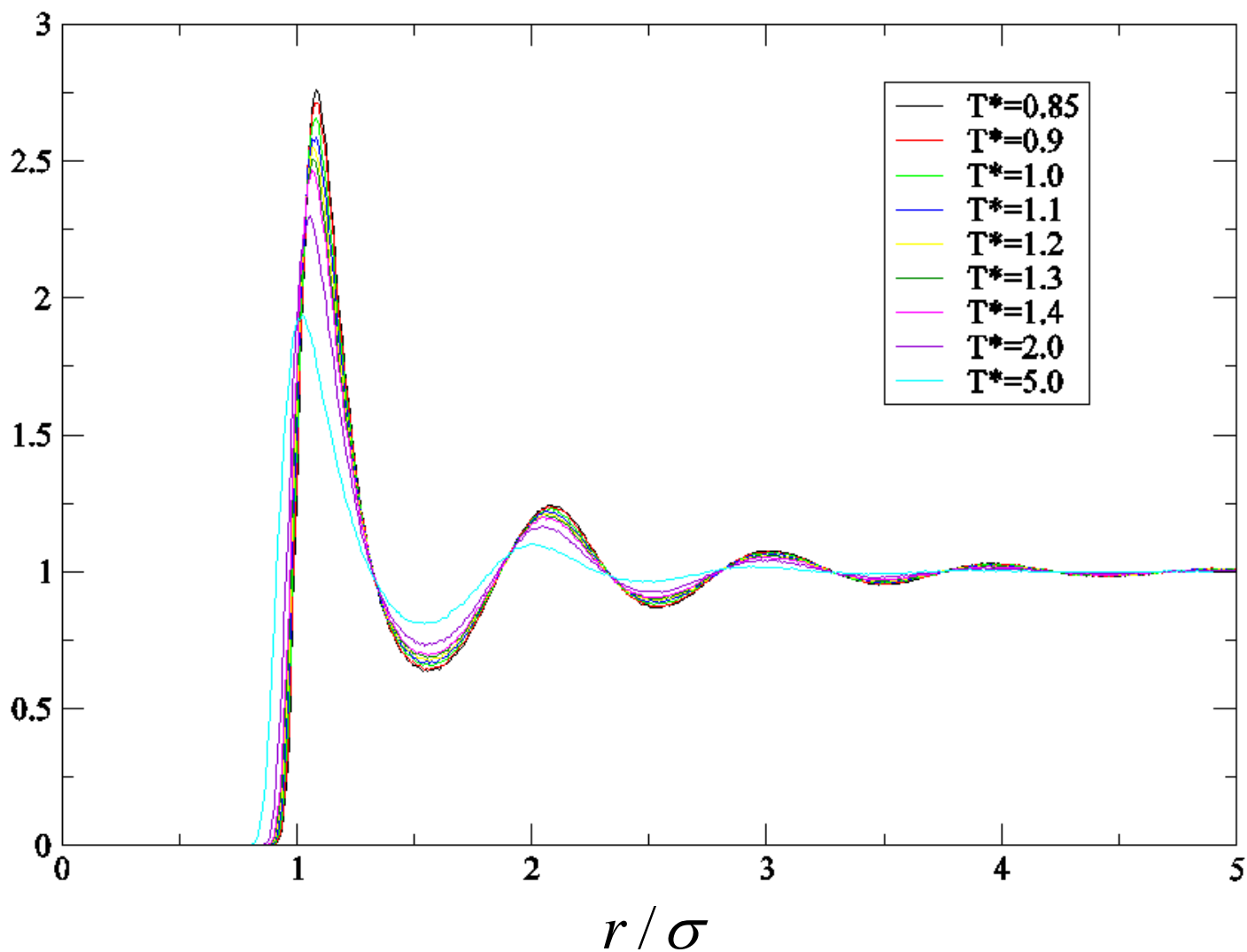


圖八、在晶體中規畫出的Voronoi polyhedron



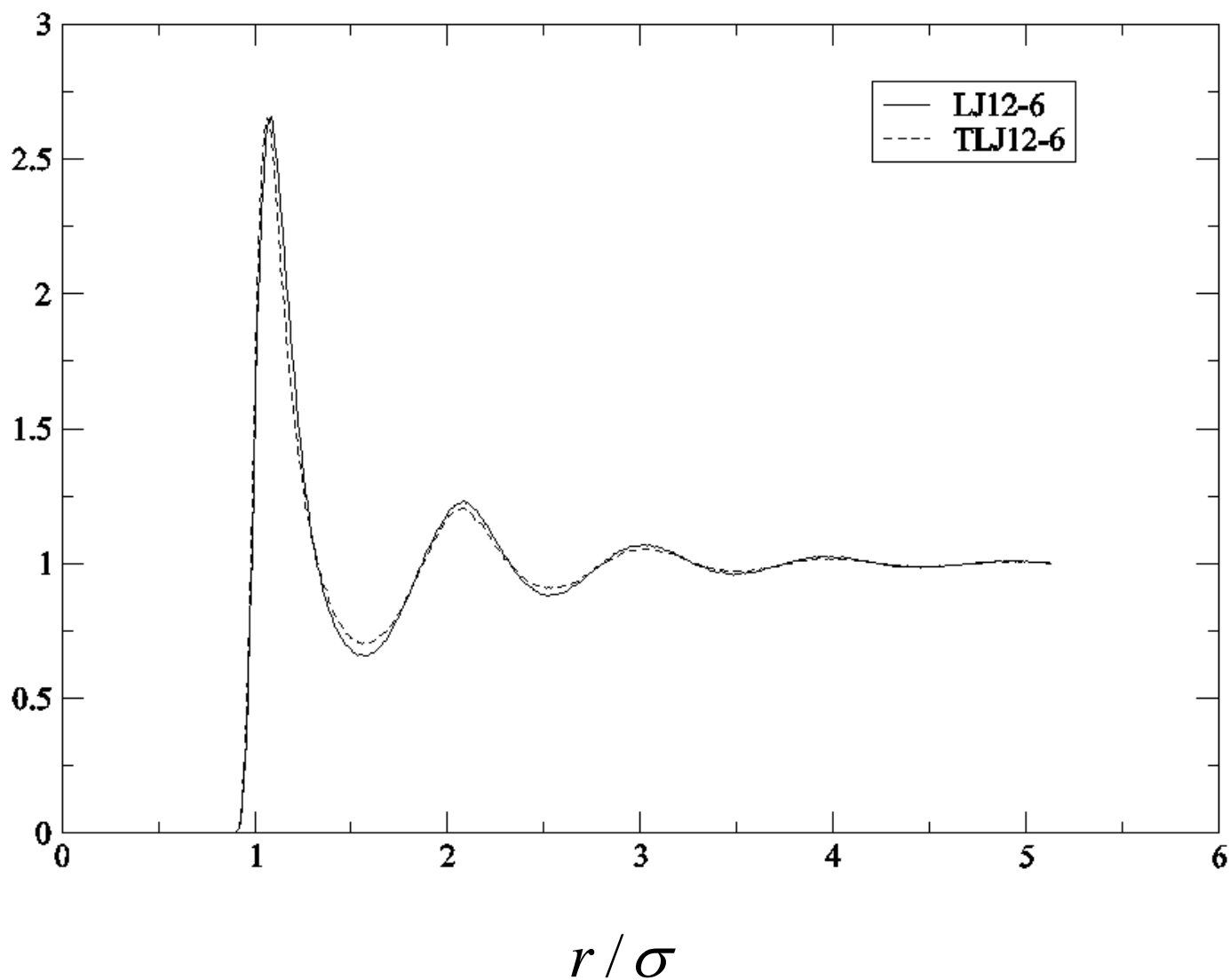
圖九、在二維無序系統中規畫出的Voronoi polyhedron

$g(r)$



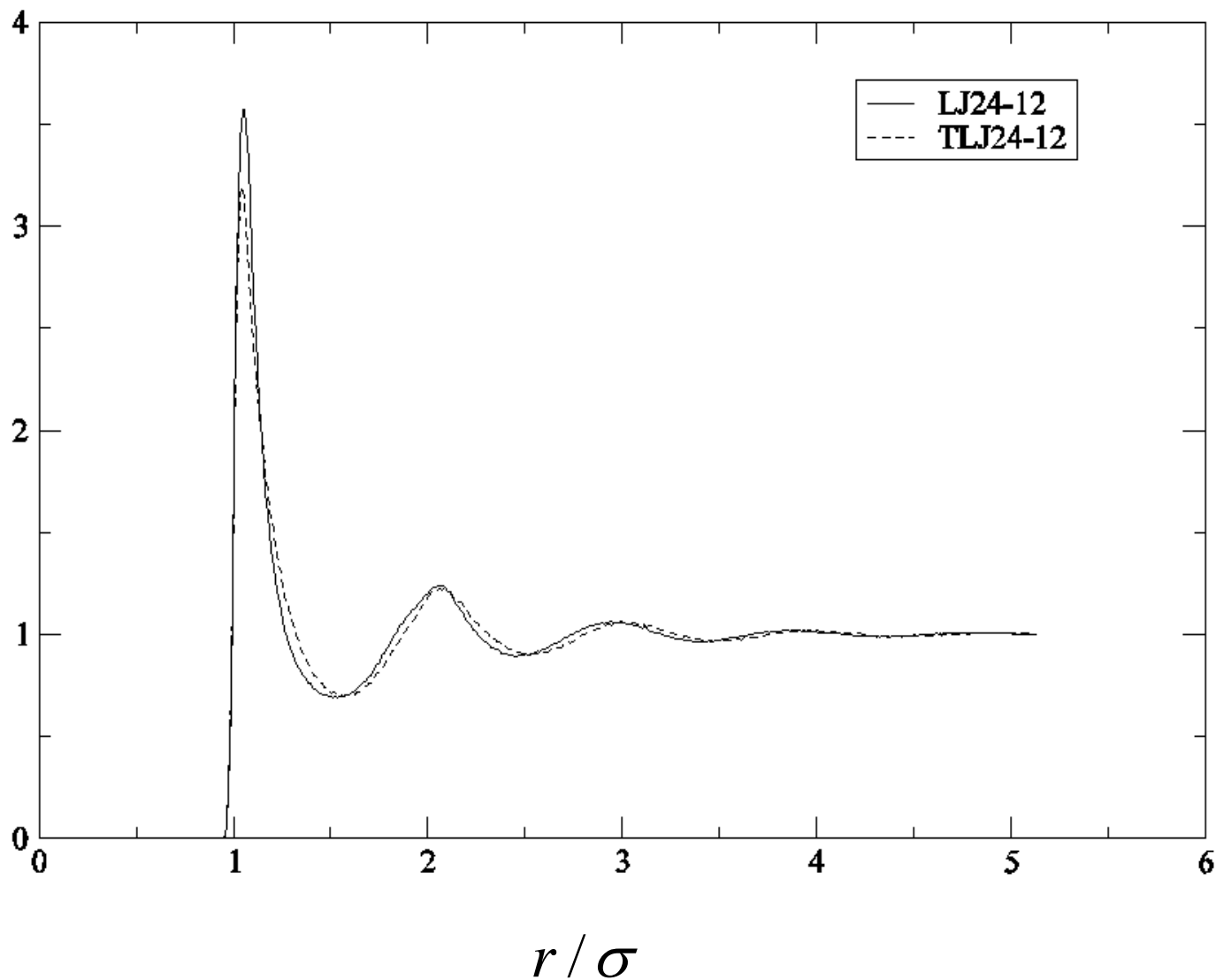
圖十、LJ12-6的粒子徑向分佈函數， $\rho^*=0.8$

$g(r)$



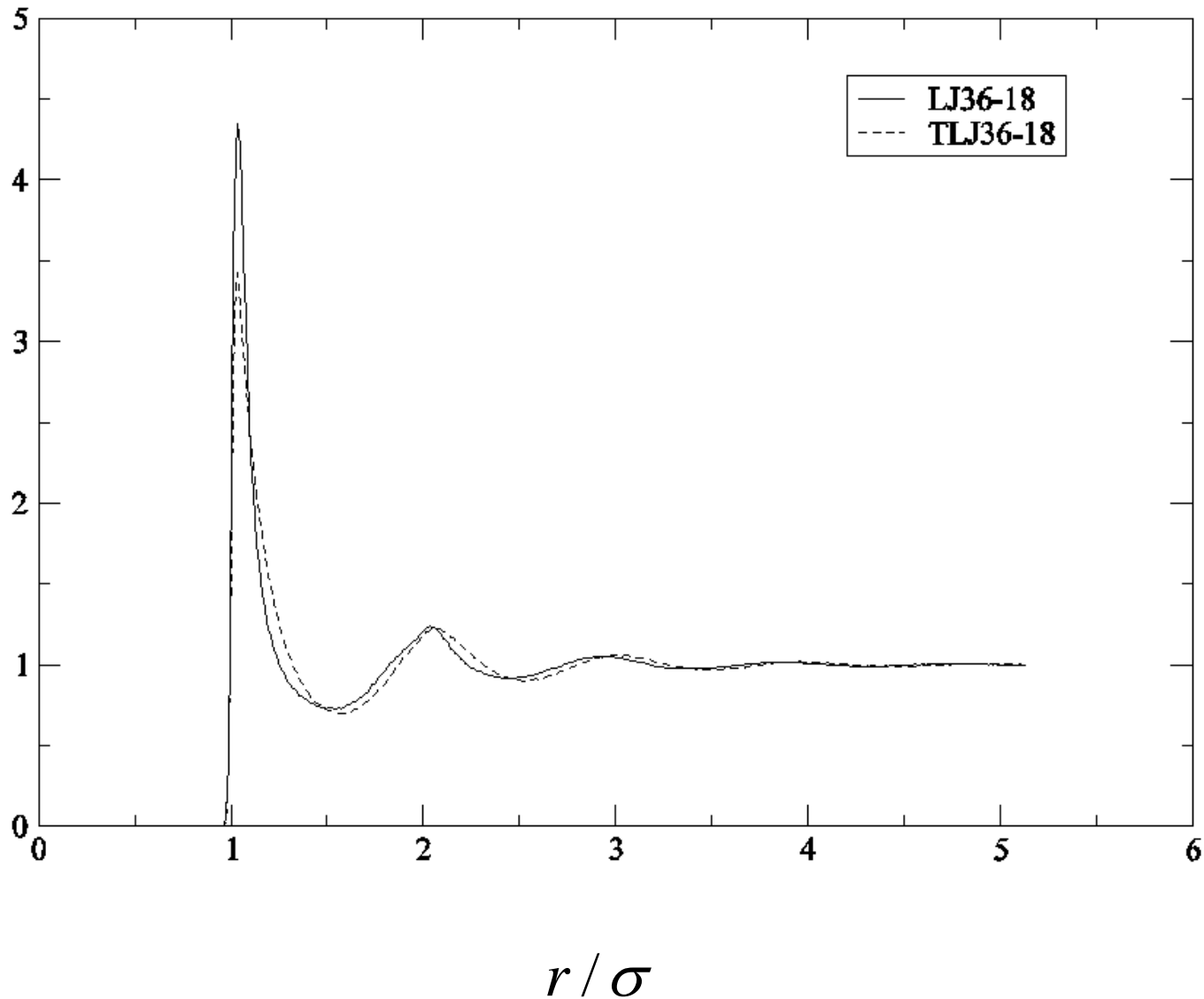
圖十一、 LJ12-6 fluid和TLJ12-6 fluid的
粒子徑向分佈函數， $\rho^*=0.8$ ，
 $T^*=1.0$

$g(r)$



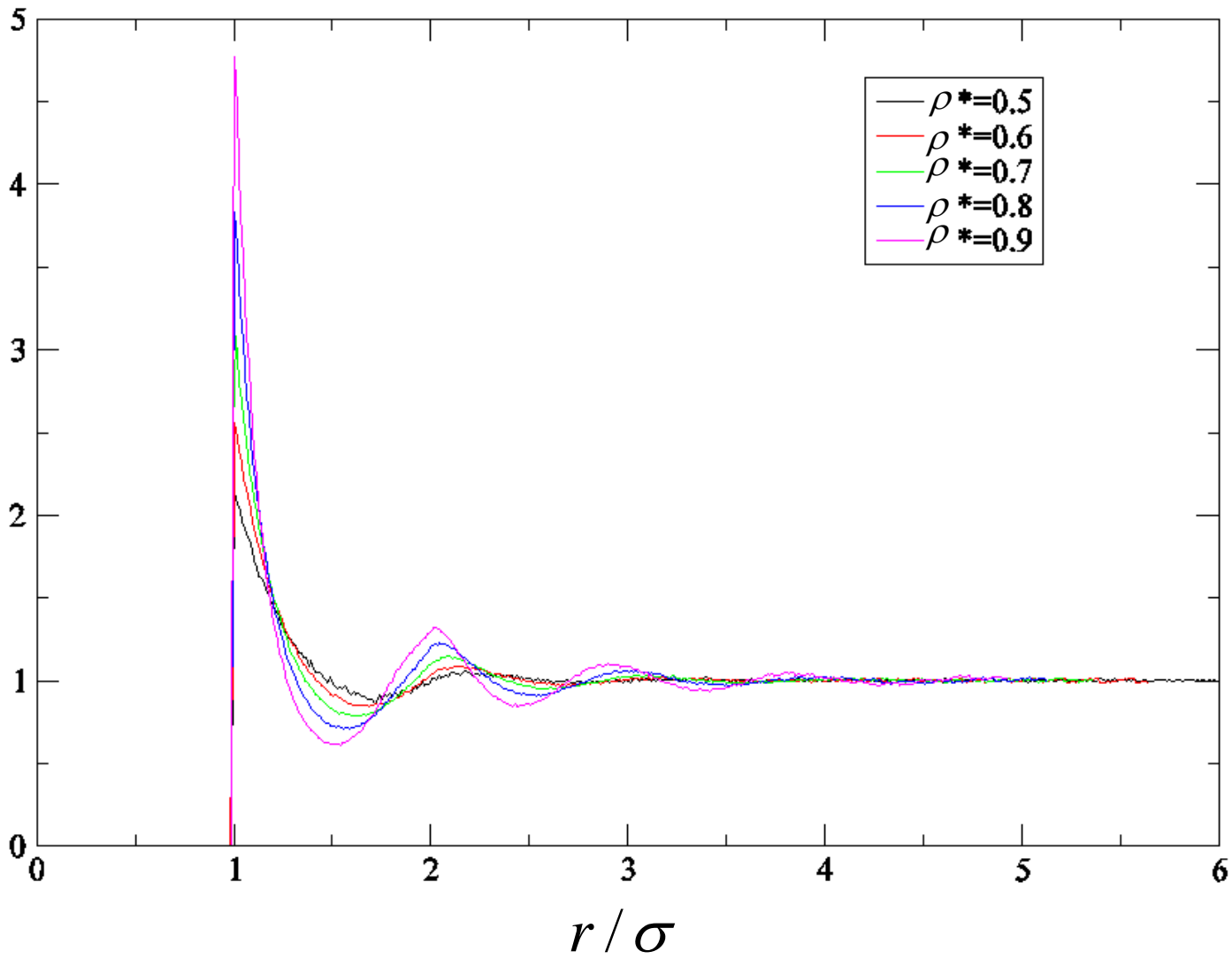
圖十二、LJ24-12 fluid和TLJ24-12 fluid的
粒子徑向分佈函數， $\rho^*=0.8$ ，
 $T^*=1.0$

$g(r)$



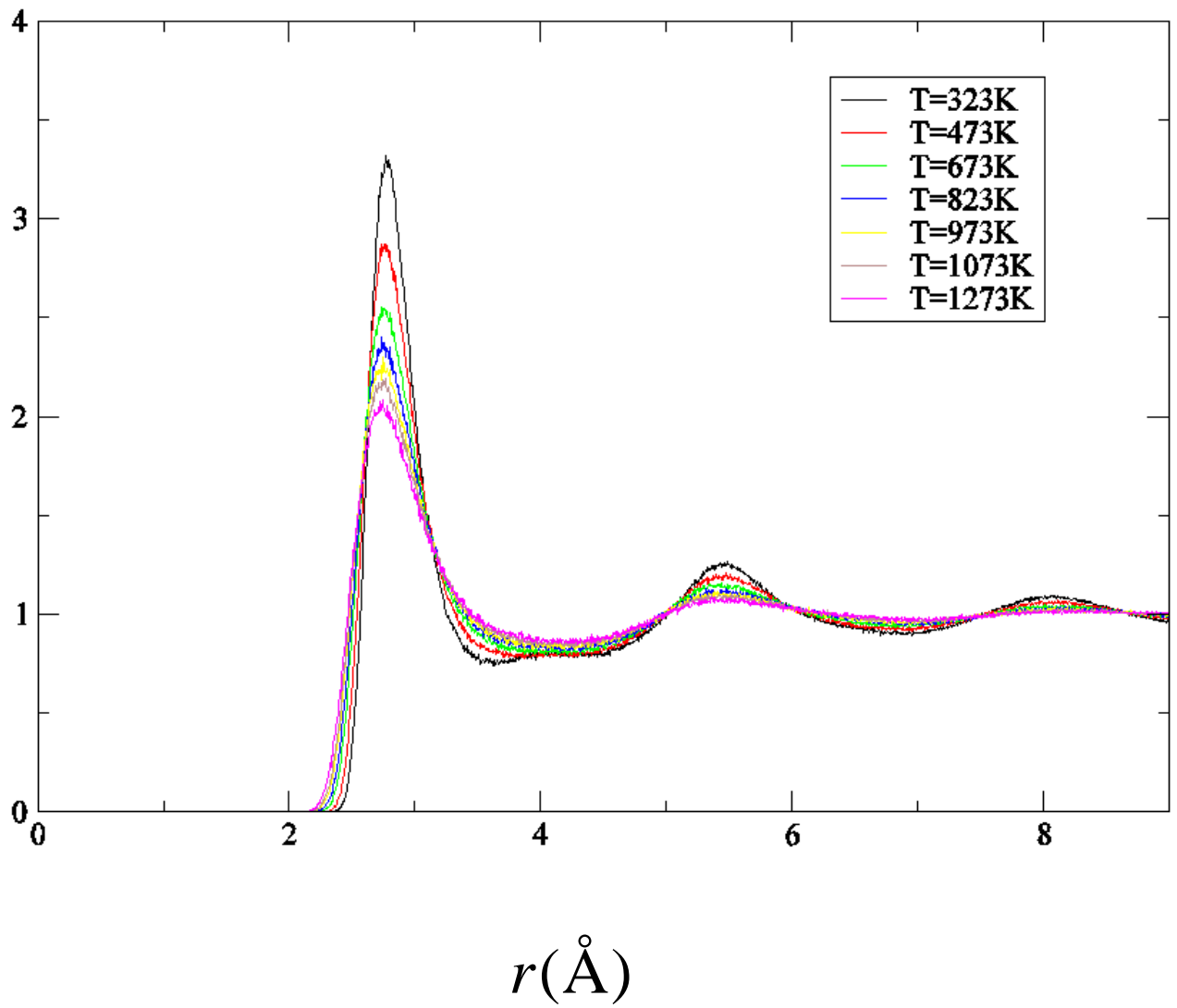
圖十三、LJ36-18 fluid和TLJ36-18 fluid
的粒子徑向分佈函數， $\rho^*=0.8$
， $T^*=1.0$

$g(r)$



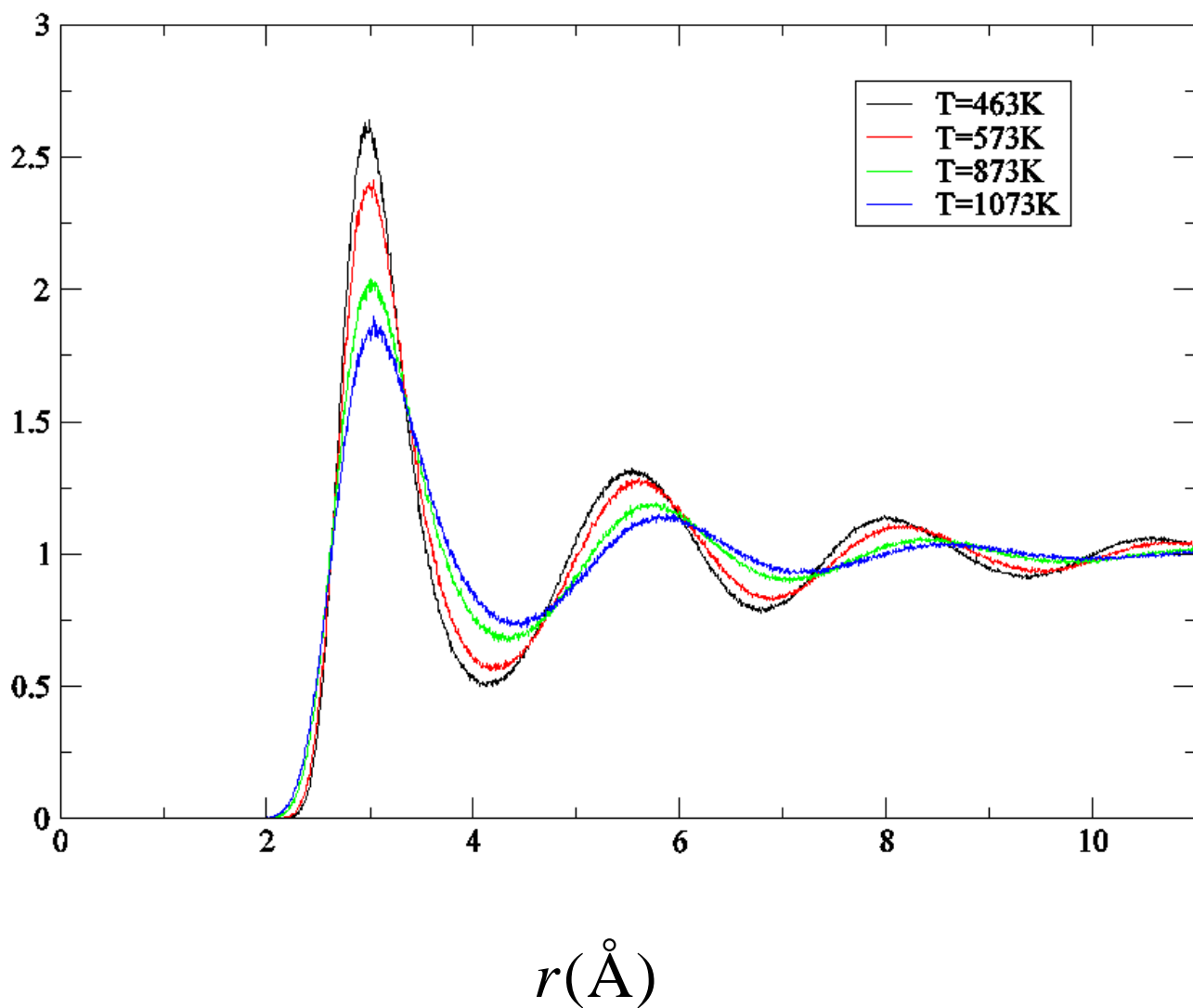
圖十四、Hard Sphere fluid的粒子徑向分佈函數， $T^*=1.0$

$g(r)$



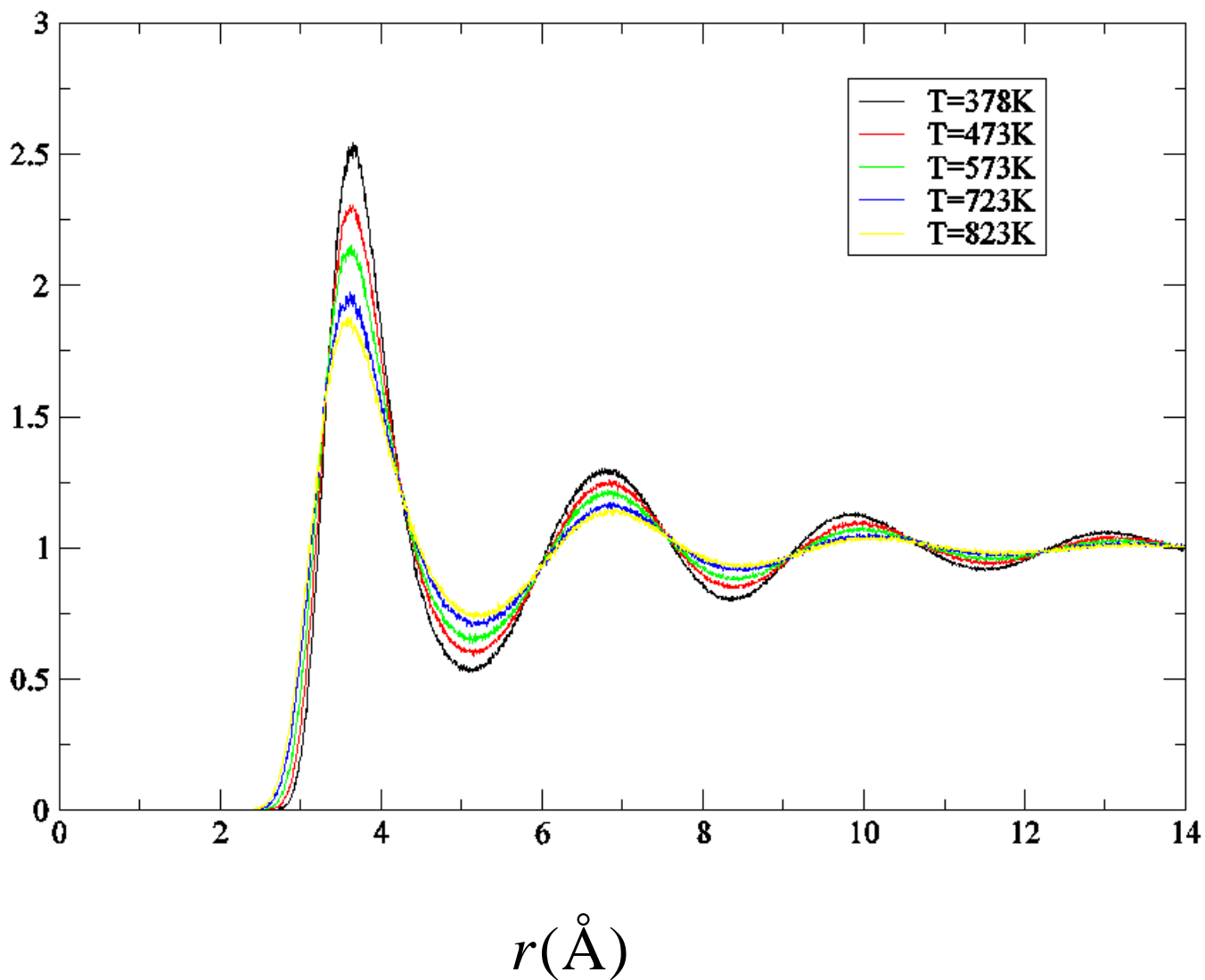
圖十五、鎂的粒子徑向分佈函數

$g(r)$



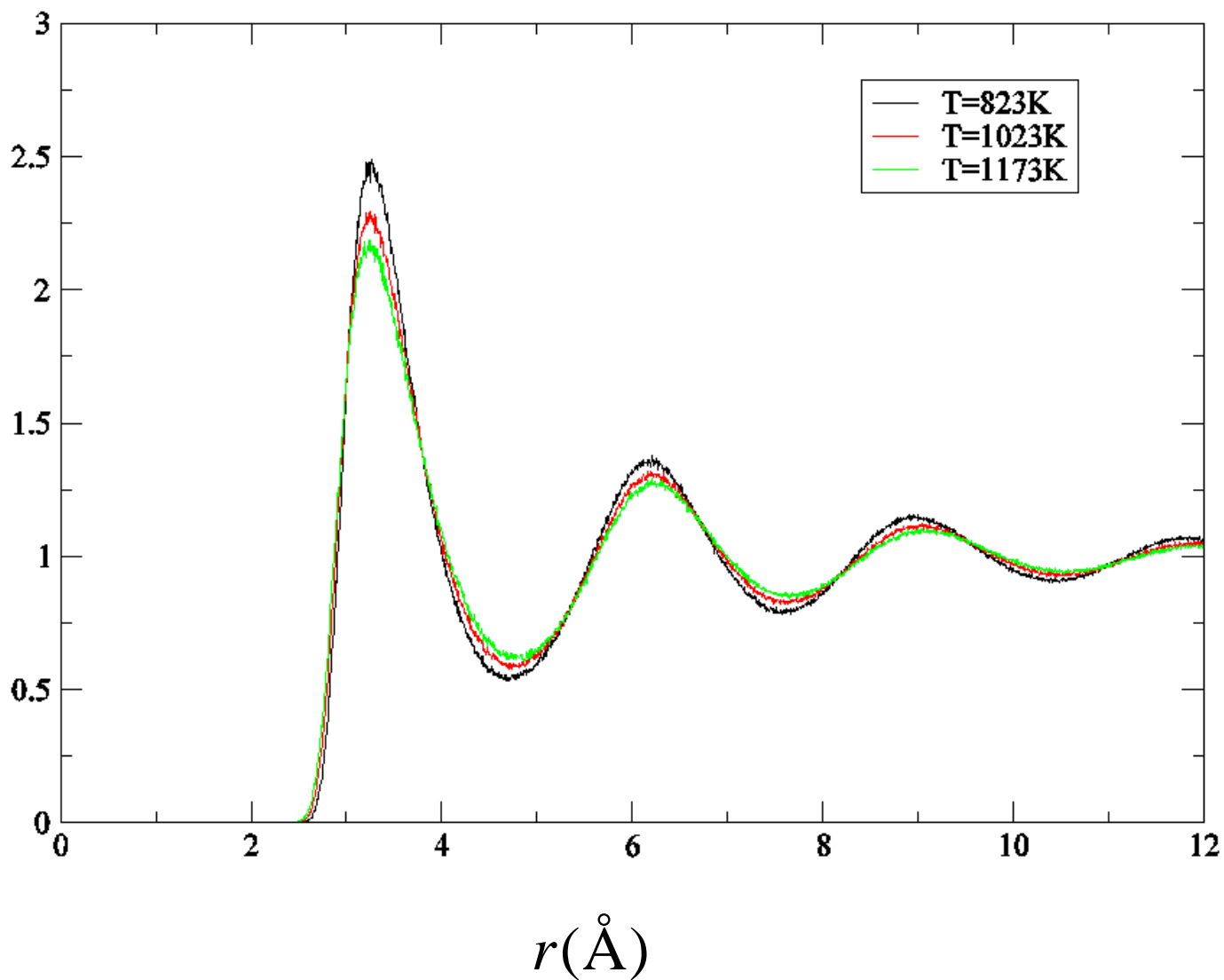
圖十六、鋰的粒子徑向分佈函數

$g(r)$



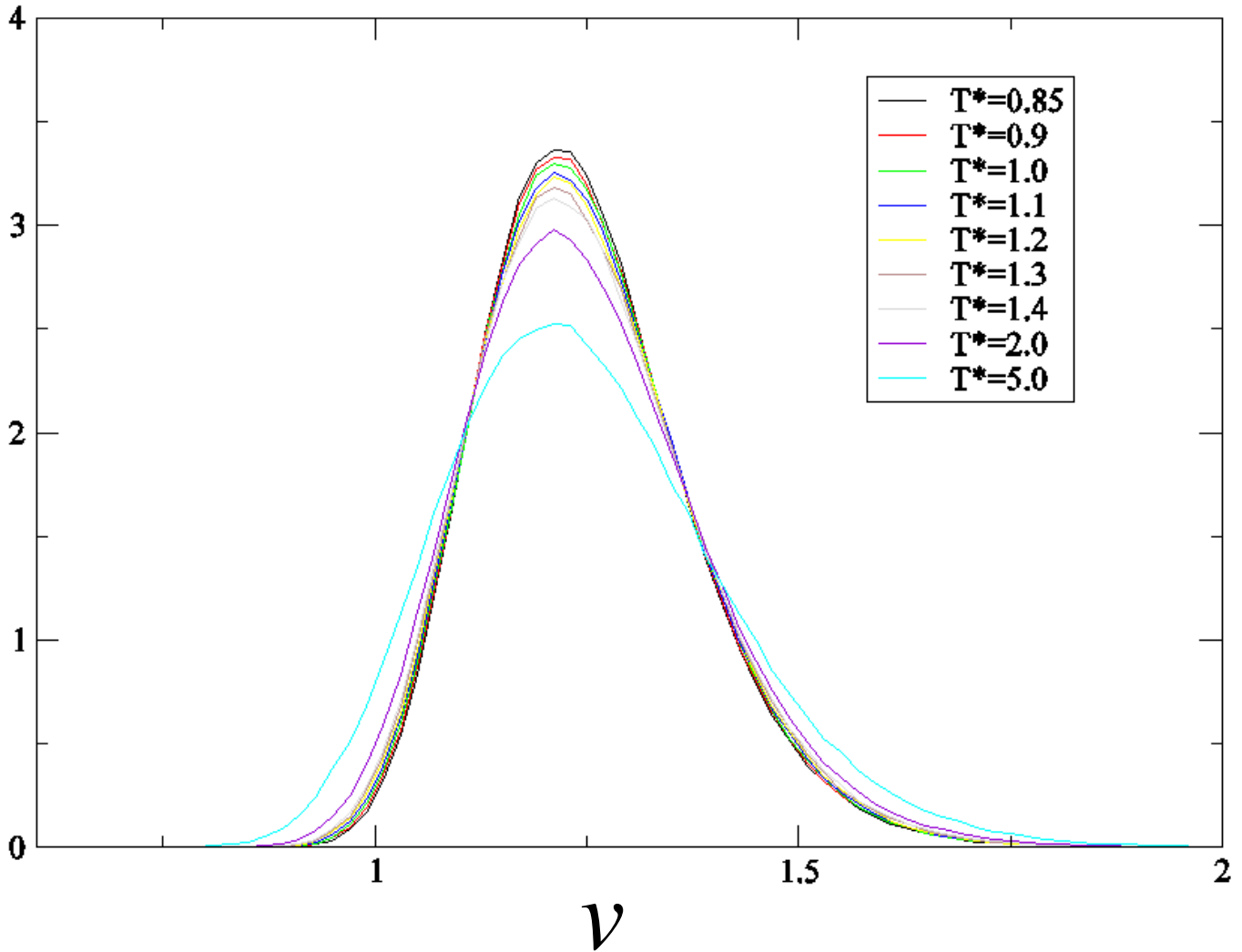
圖十七、鈉的粒子徑向分佈函數

$g(r)$

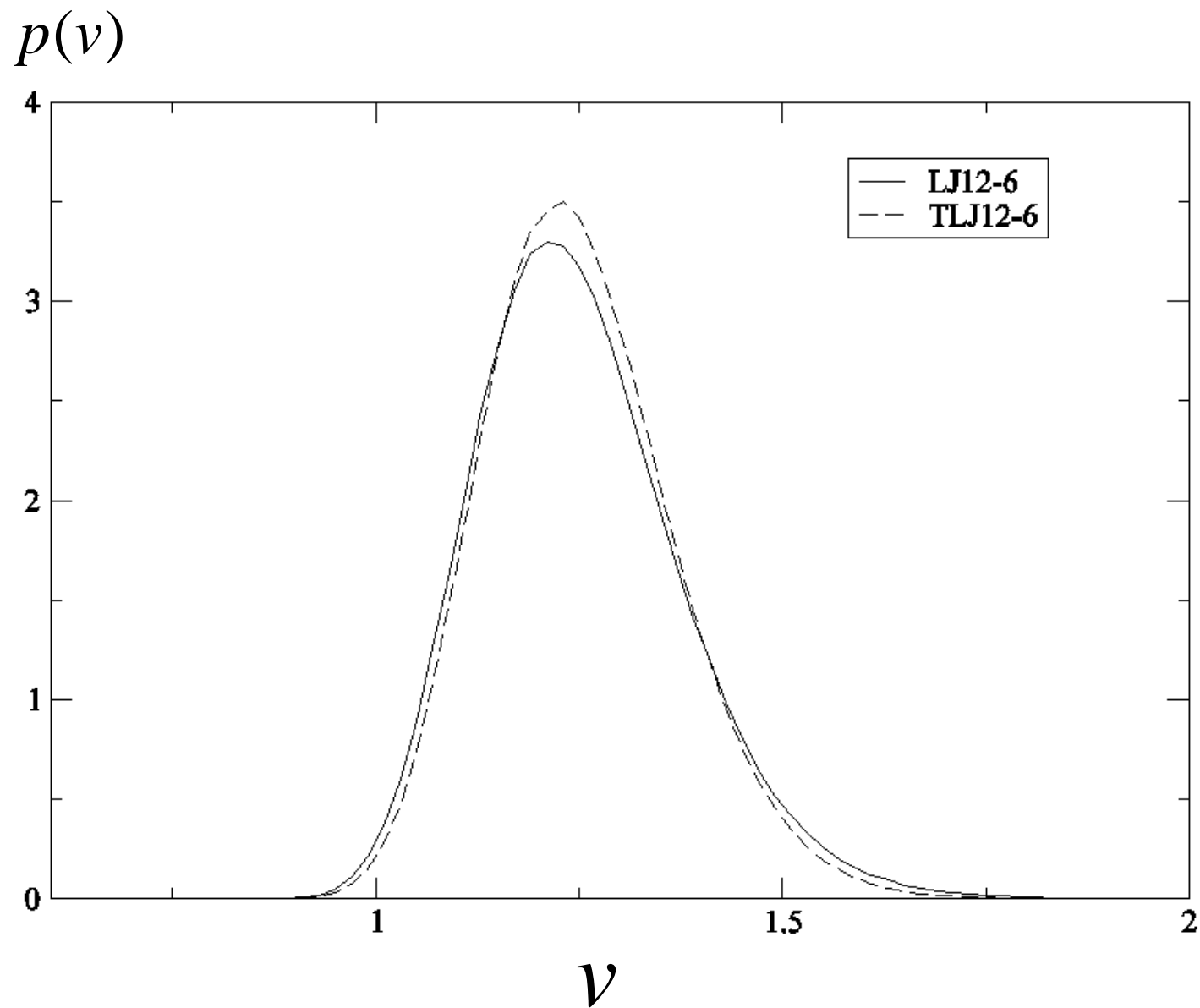


圖十八、鉛的粒子徑向分佈函數

$p(v)$

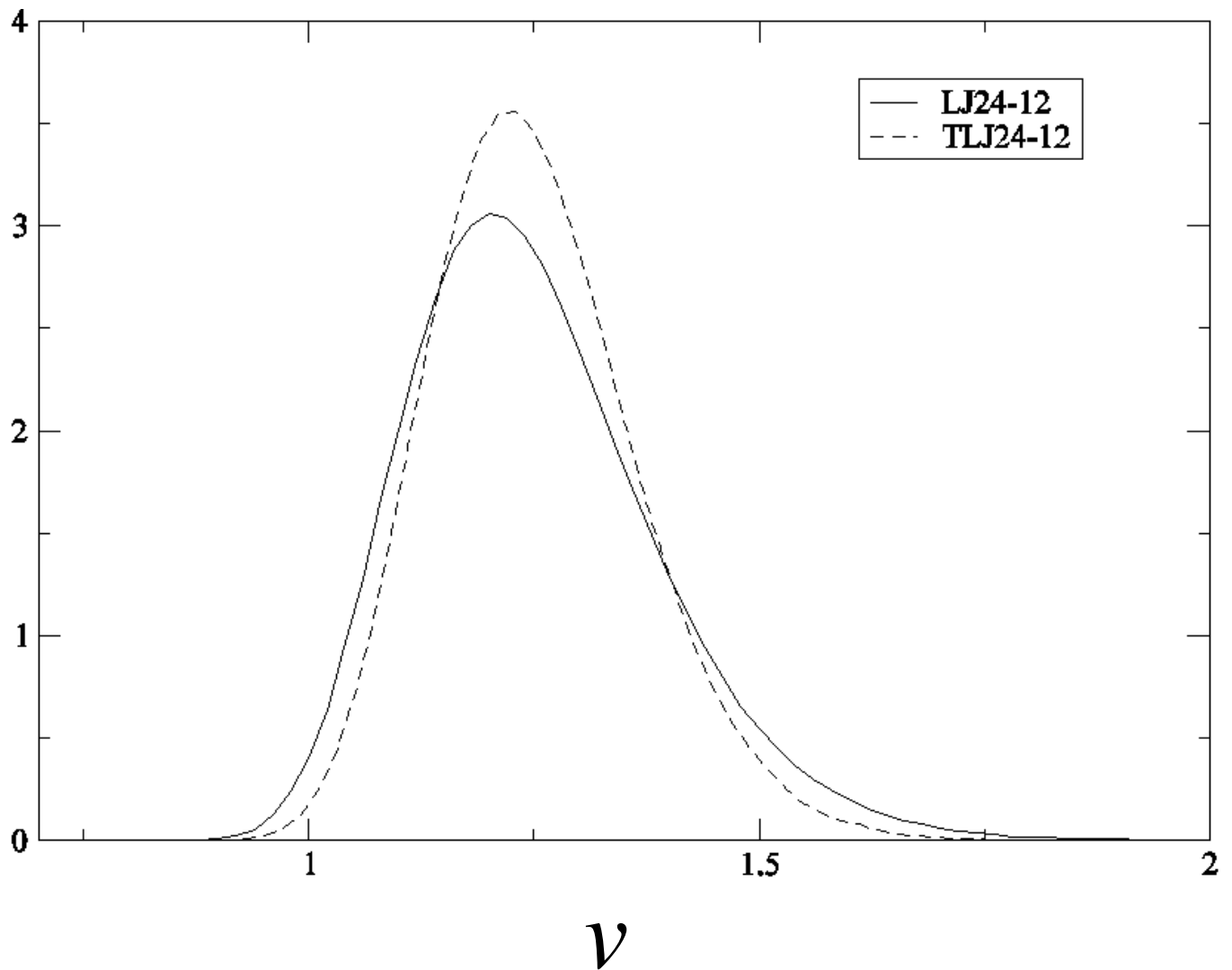


圖十九、LJ12-6 fluid的Voronoi polyhedron體積分佈函數， $\rho^*=0.8$



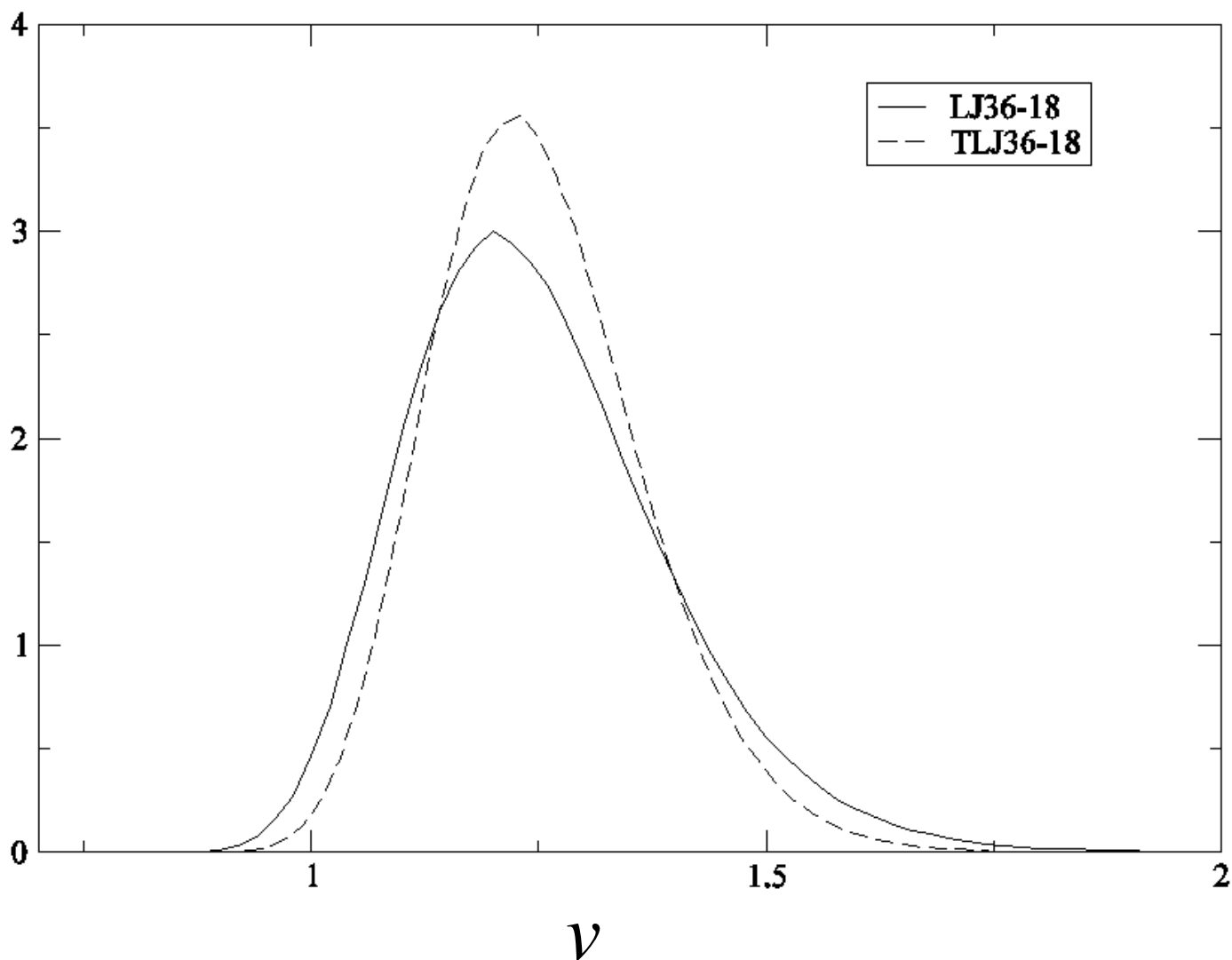
圖二十、LJ12-6 fluid和TLJ12-6 fluid的 Voronoi polyhedron體積分佈函數， $\rho^*=0.8$ ， $T^*=1.0$

$p(v)$



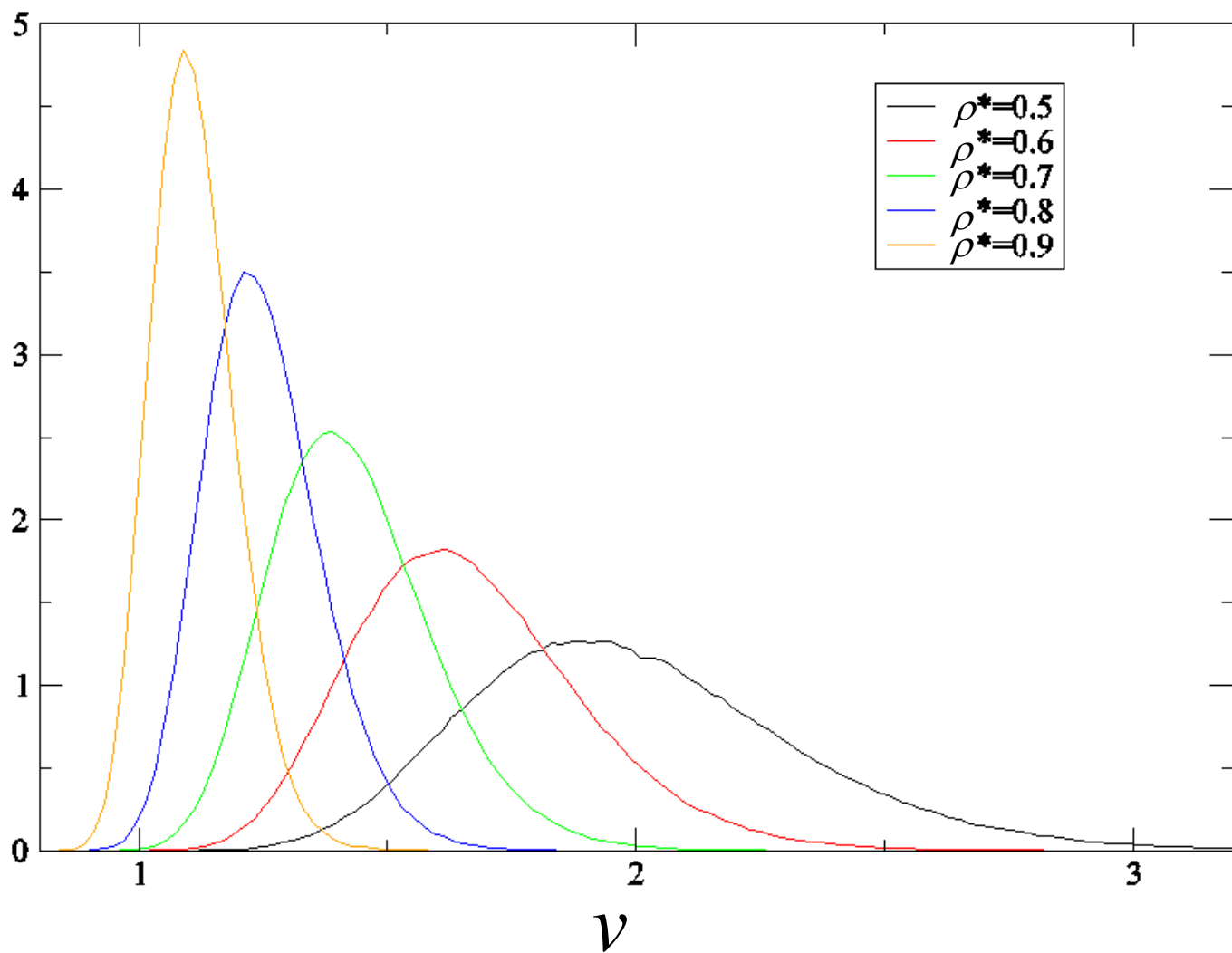
圖二十一、LJ24-12 fluid和TLJ24-12 fluid的 Voronoi polyhedron體積分佈函數 $\rho^*=0.8$ ， $T^*=1.0$

$p(v)$

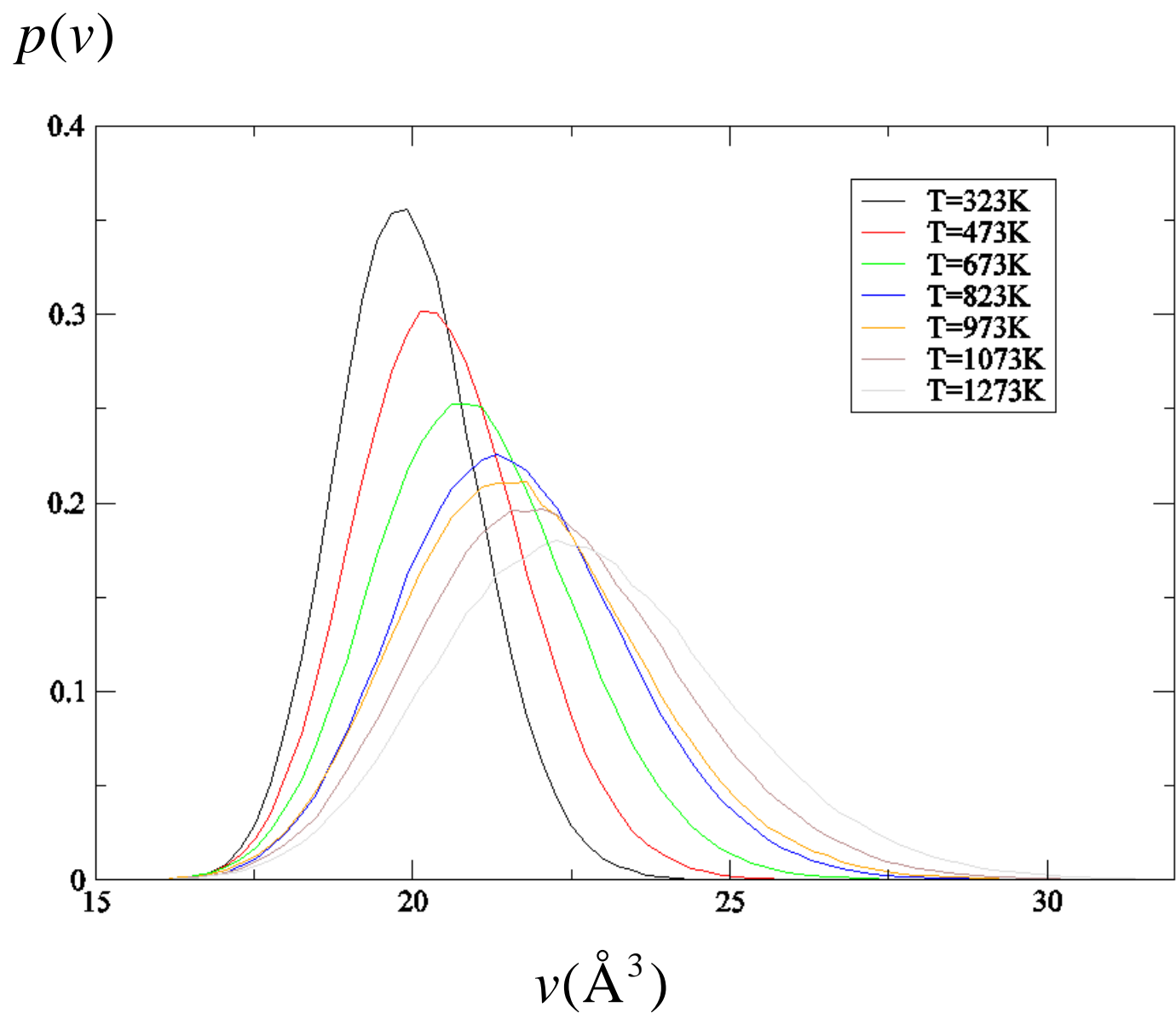


圖二十二、LJ36-18 fluid和TLJ36-18 fluid的 Voronoi polyhedron體積分佈函數， $\rho^*=0.8$ ， $T^*=1.0$

$p(v)$

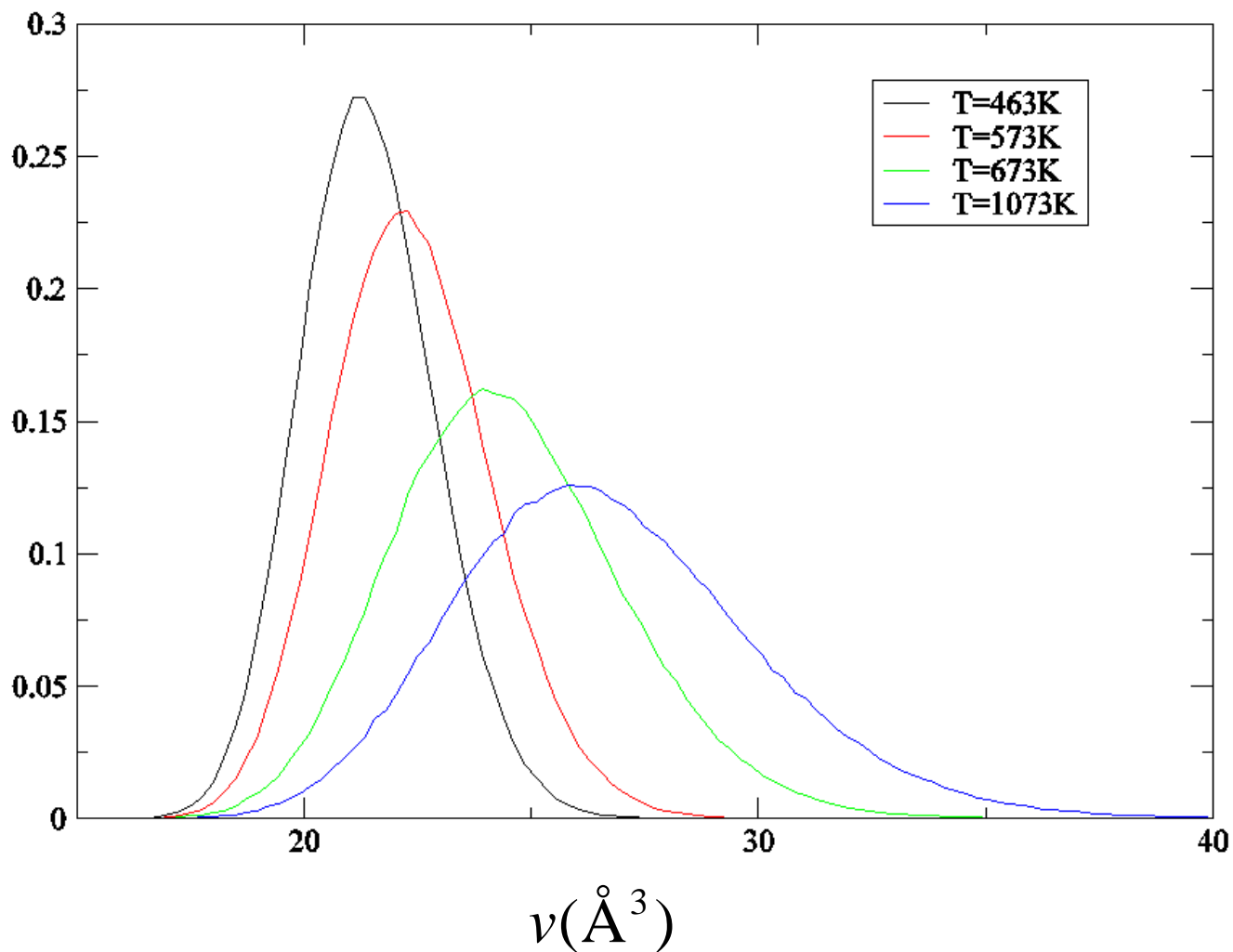


圖二十三、Hard Sphere fluid的Voronoi polyhedron體積分佈函數， $T^*=1.0$

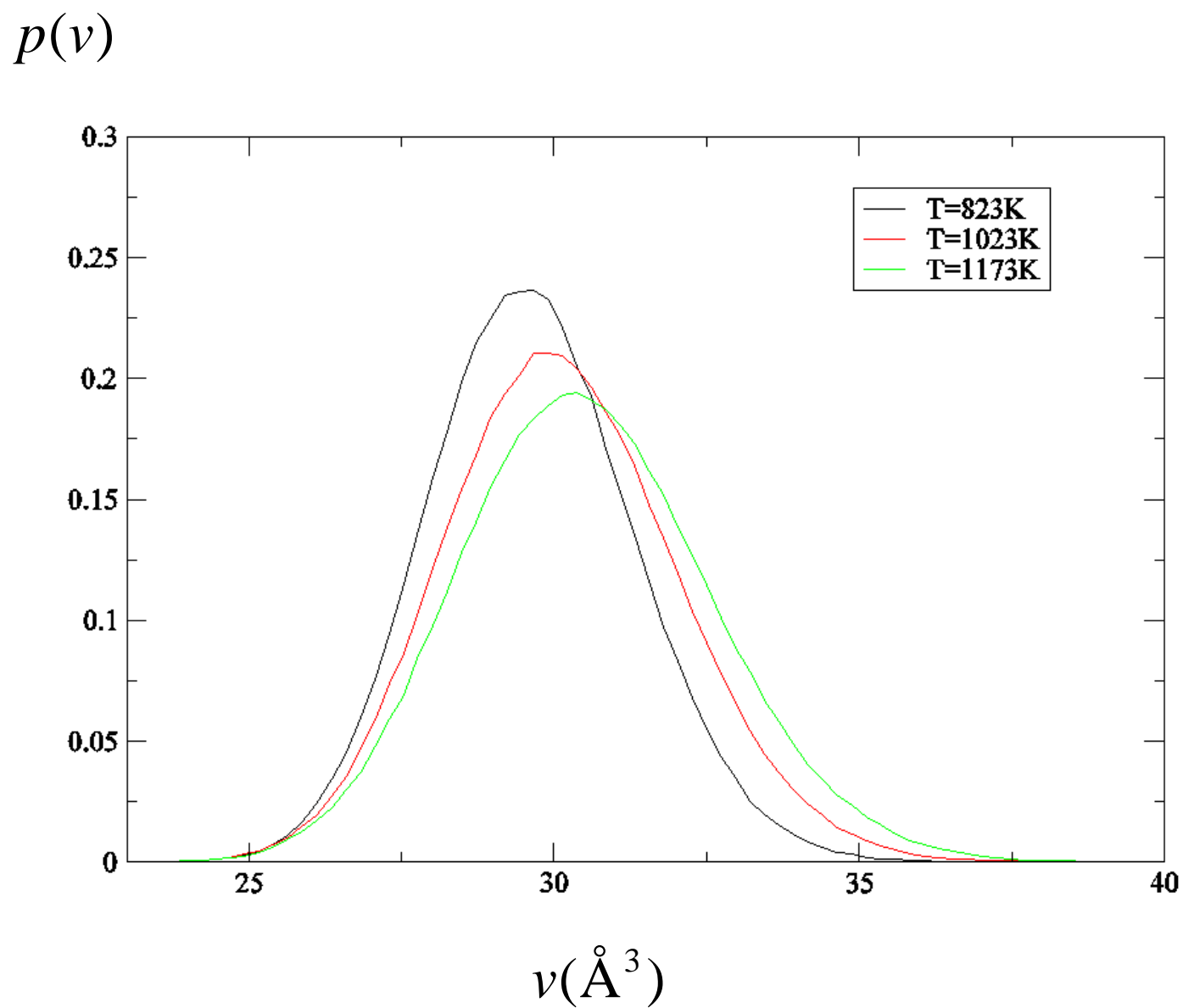


圖二十四、鎘的Voronoi polyhedron體積分佈函數

$p(v)$

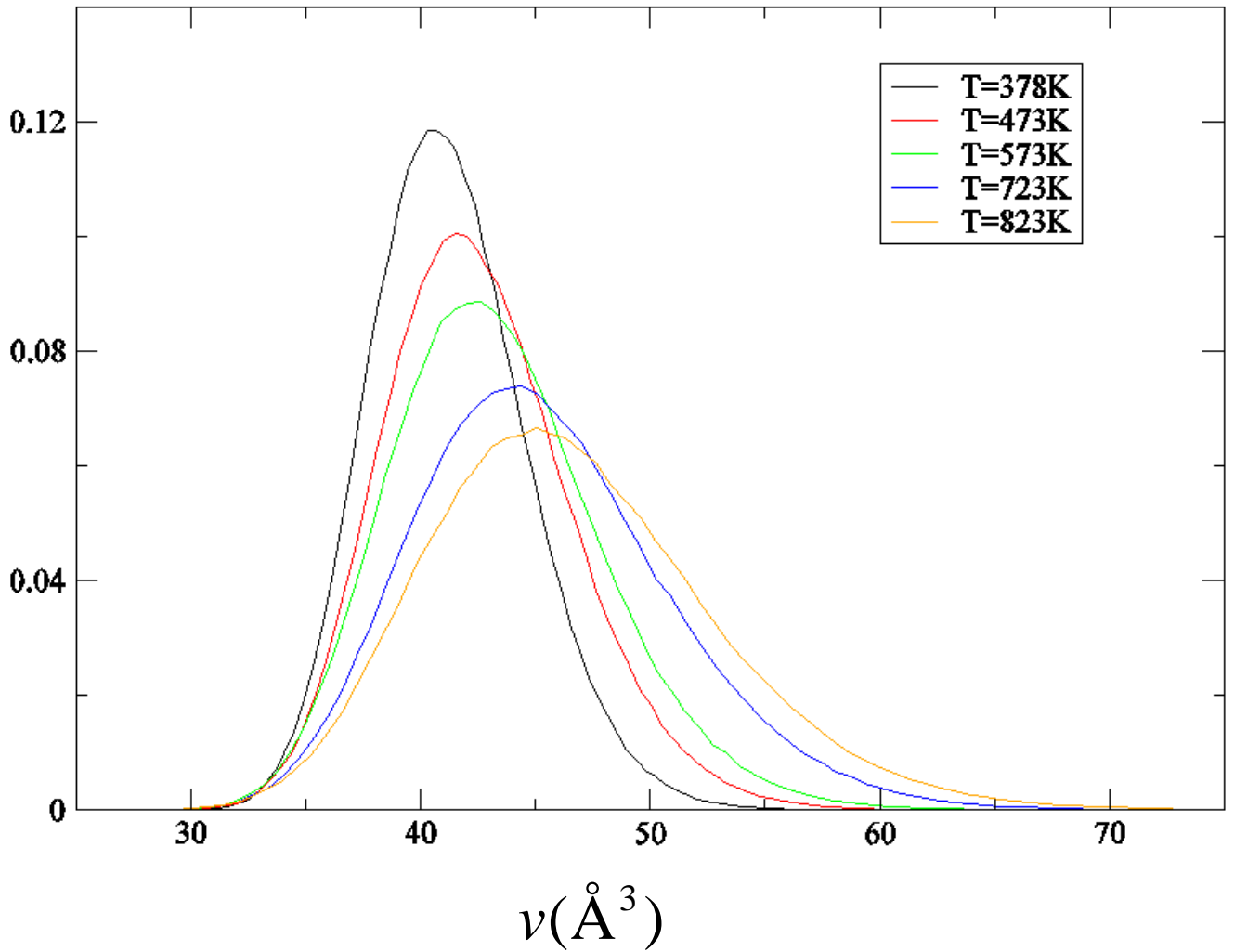


圖二十五、鋰的Voronoi polyhedron體積分佈函數

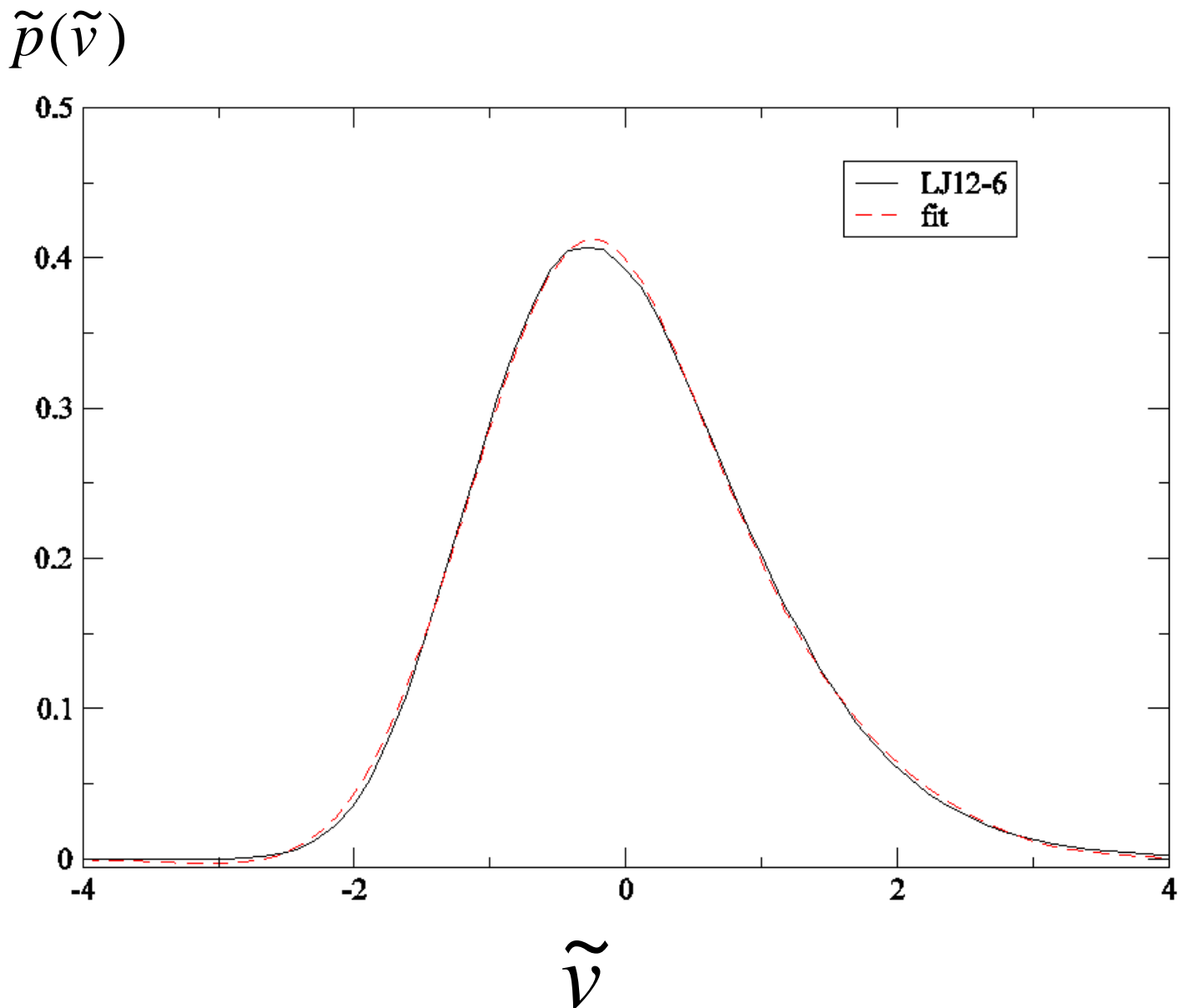


圖二十六、鉛的Voronoi polyhedron體積分佈函數

$p(v)$

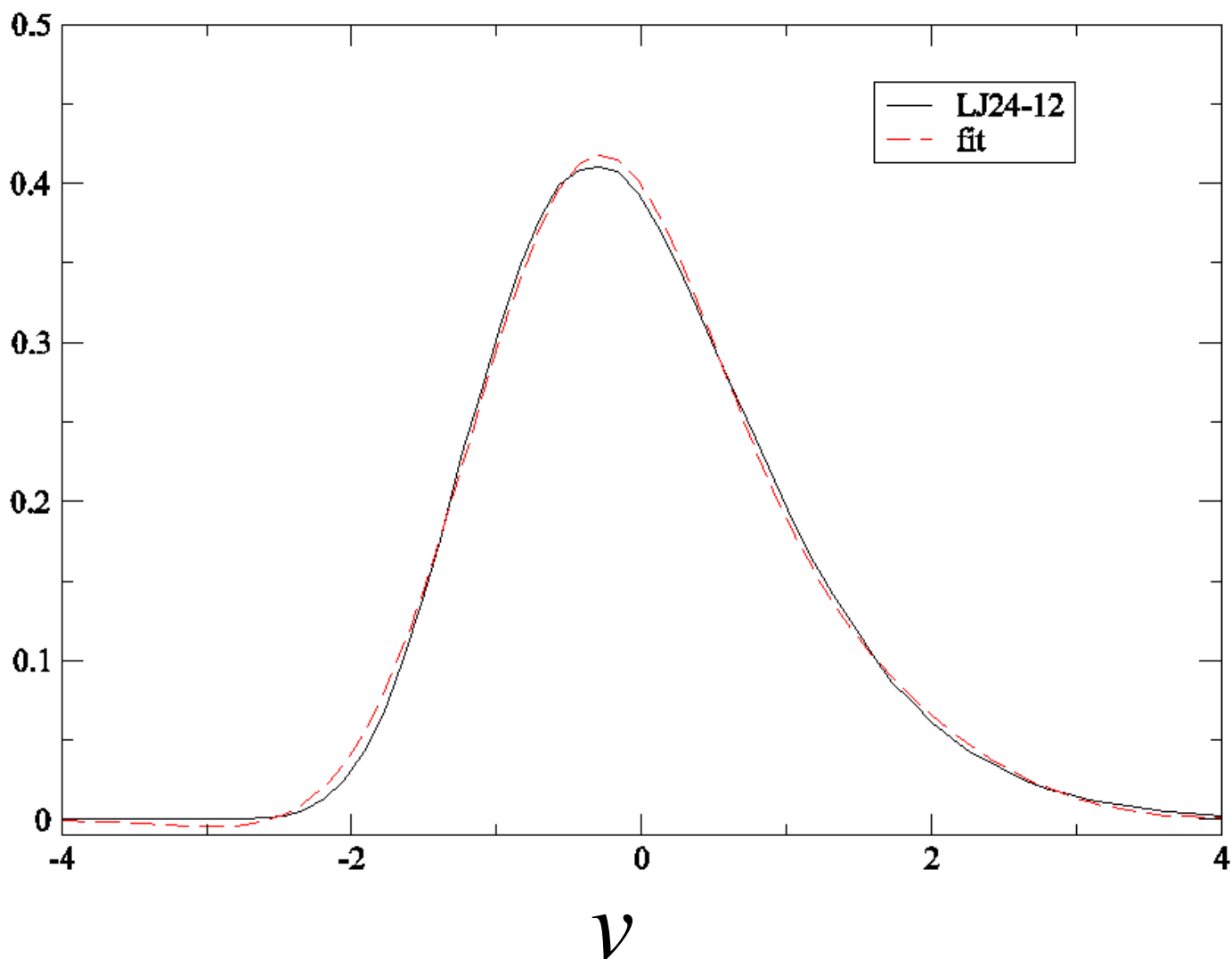


圖二十七、鈉的Voronoi polyhedron體積分佈函數



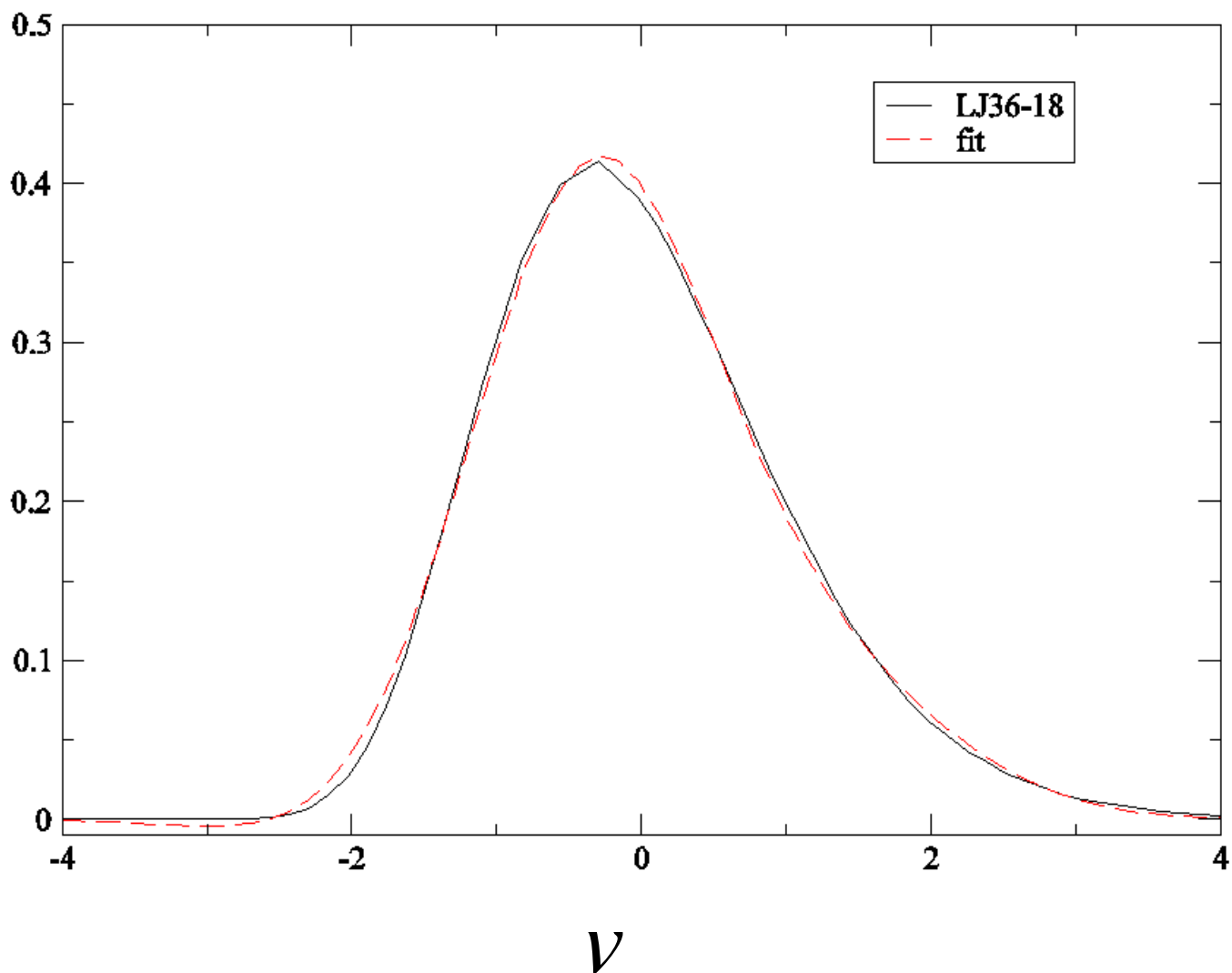
圖二十八、LJ12-6 fluid的rescaling
Voronoi polyhedron體積分佈
 $T^*=0.85$, $\rho^*=0.8$

$\tilde{p}(\tilde{v})$



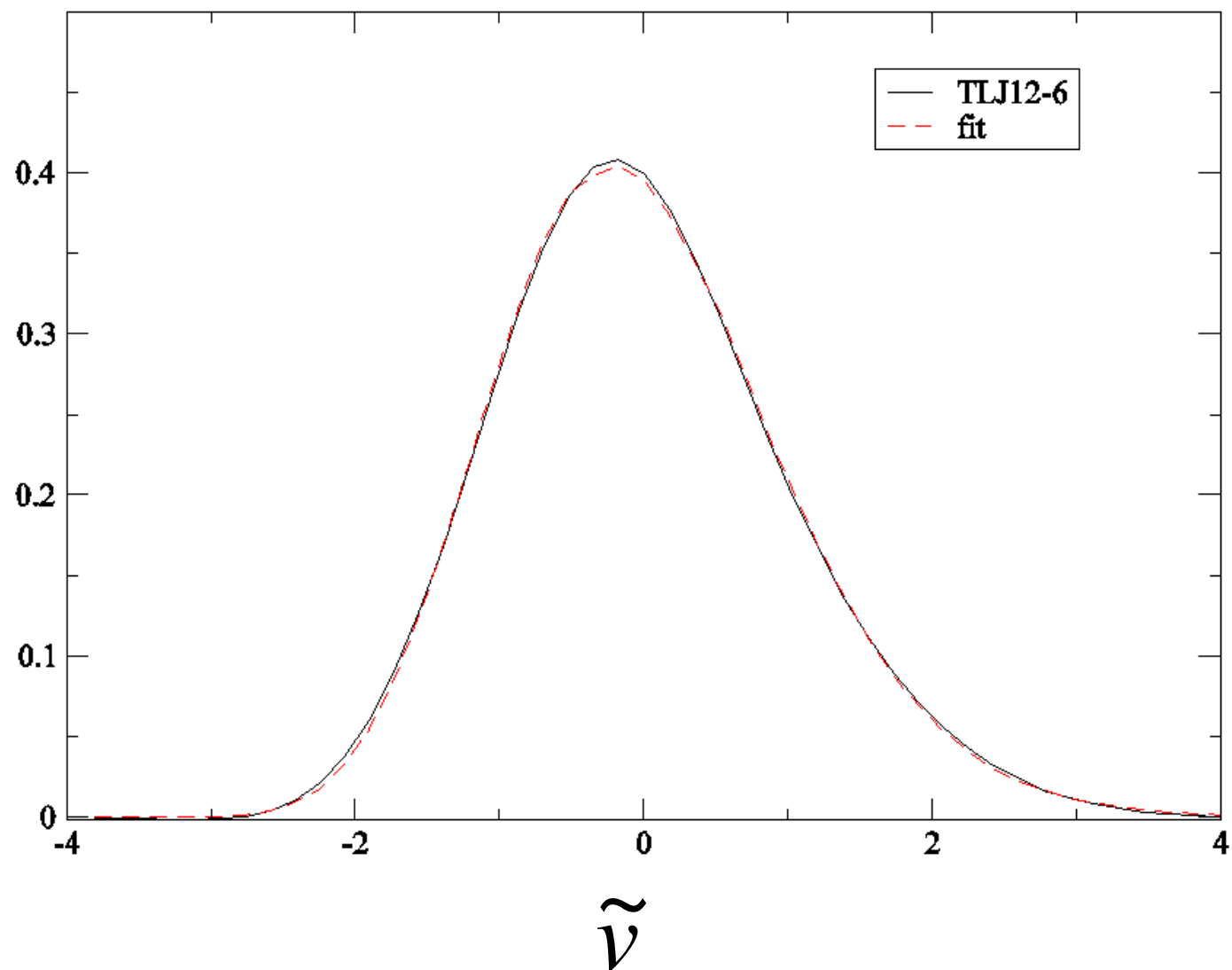
圖二十九、LJ24-12 fluid的rescaling
Voronoi polyhedron體積分佈
， $T^*=1.0$ ， $\rho^*=0.8$

$\tilde{p}(\tilde{v})$



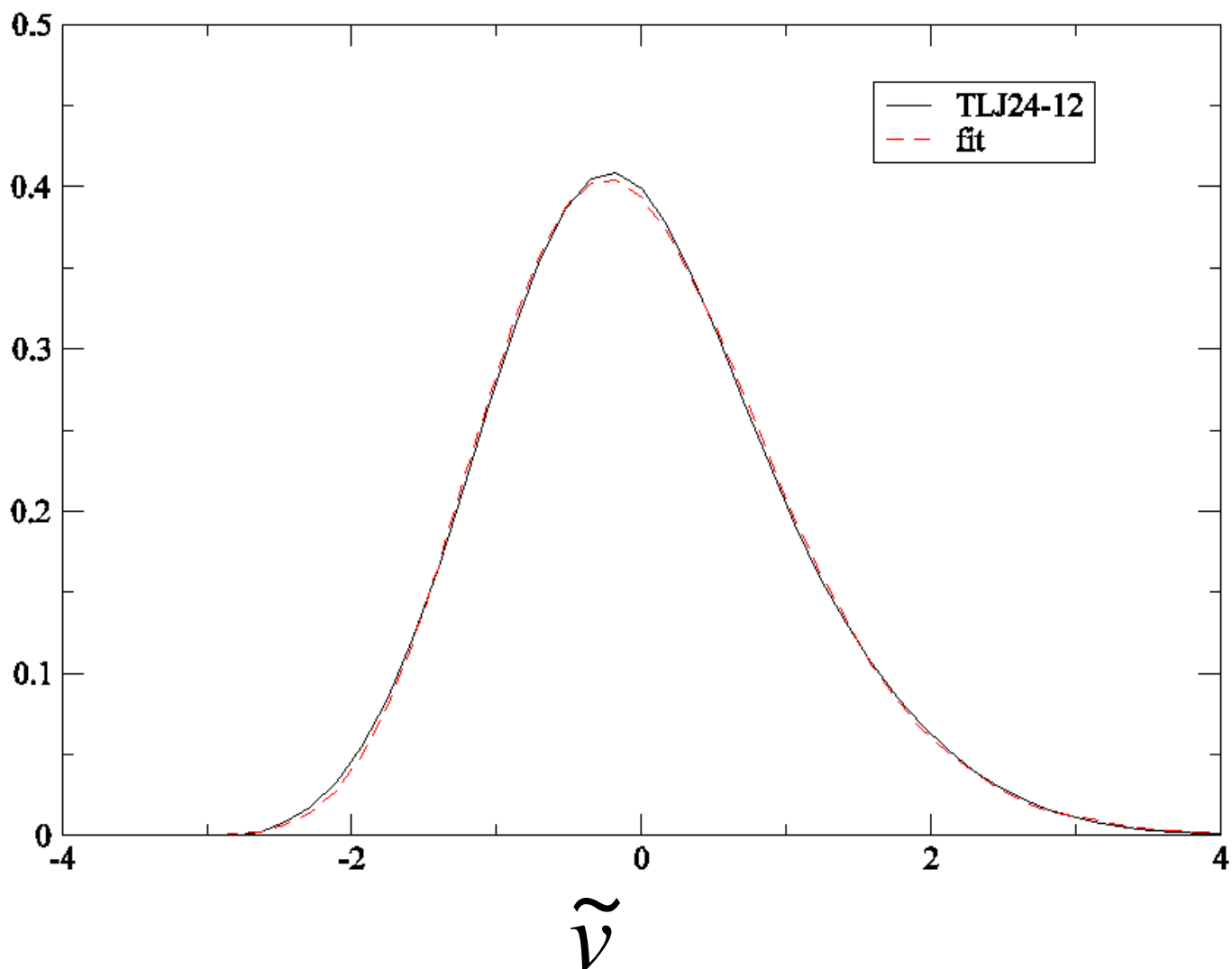
圖三十、LJ36-18 fluid的rescaling
Voronoi polyhedron體積分佈
， $T^*=1.0$ ， $\rho^*=0.8$

$\tilde{p}(\tilde{v})$



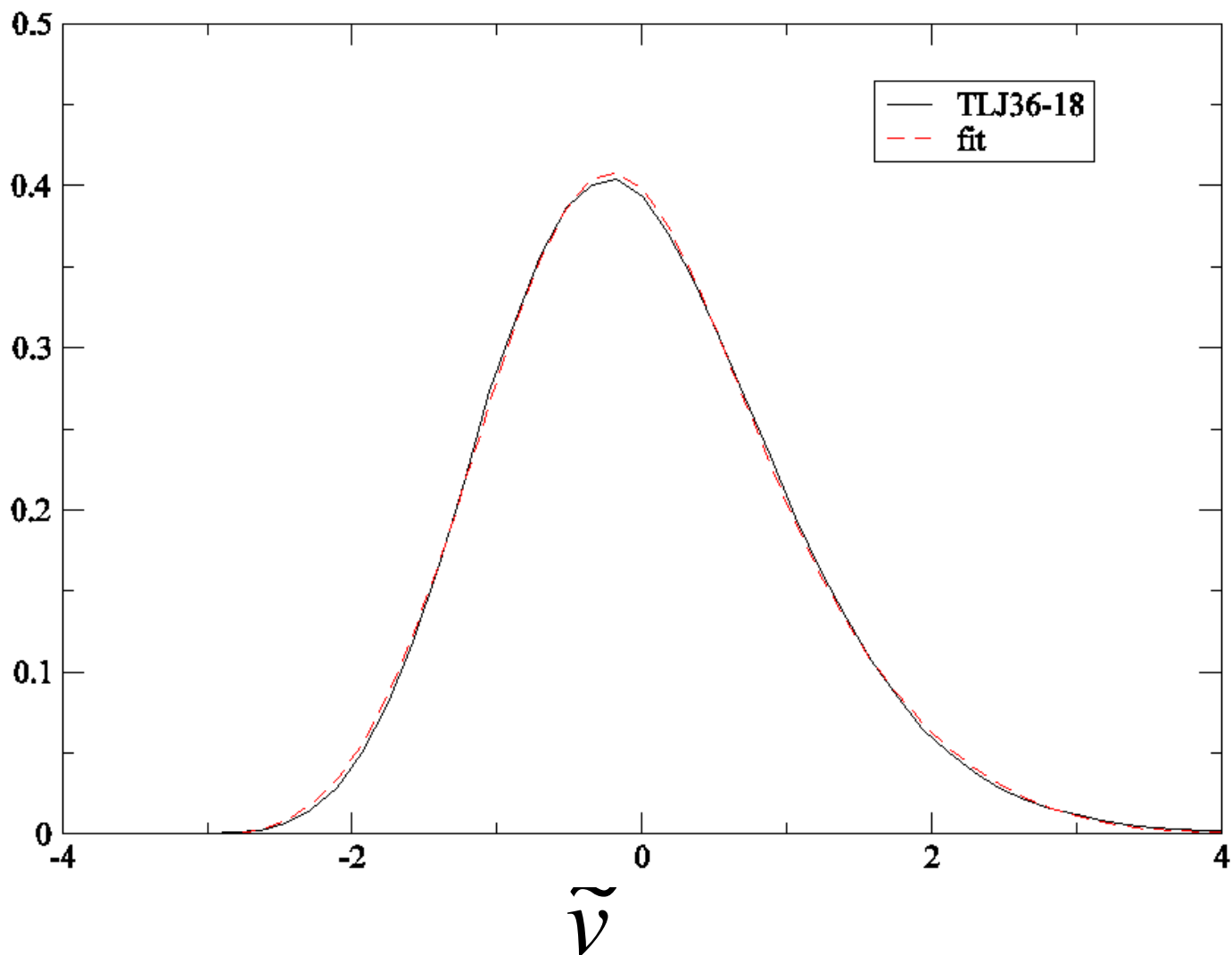
圖三十一、TLJ12-6 fluid的rescaling
Voronoi polyhedron體積分佈
 $T^*=1.0$, $\rho^*=0.8$

$\tilde{p}(\tilde{v})$

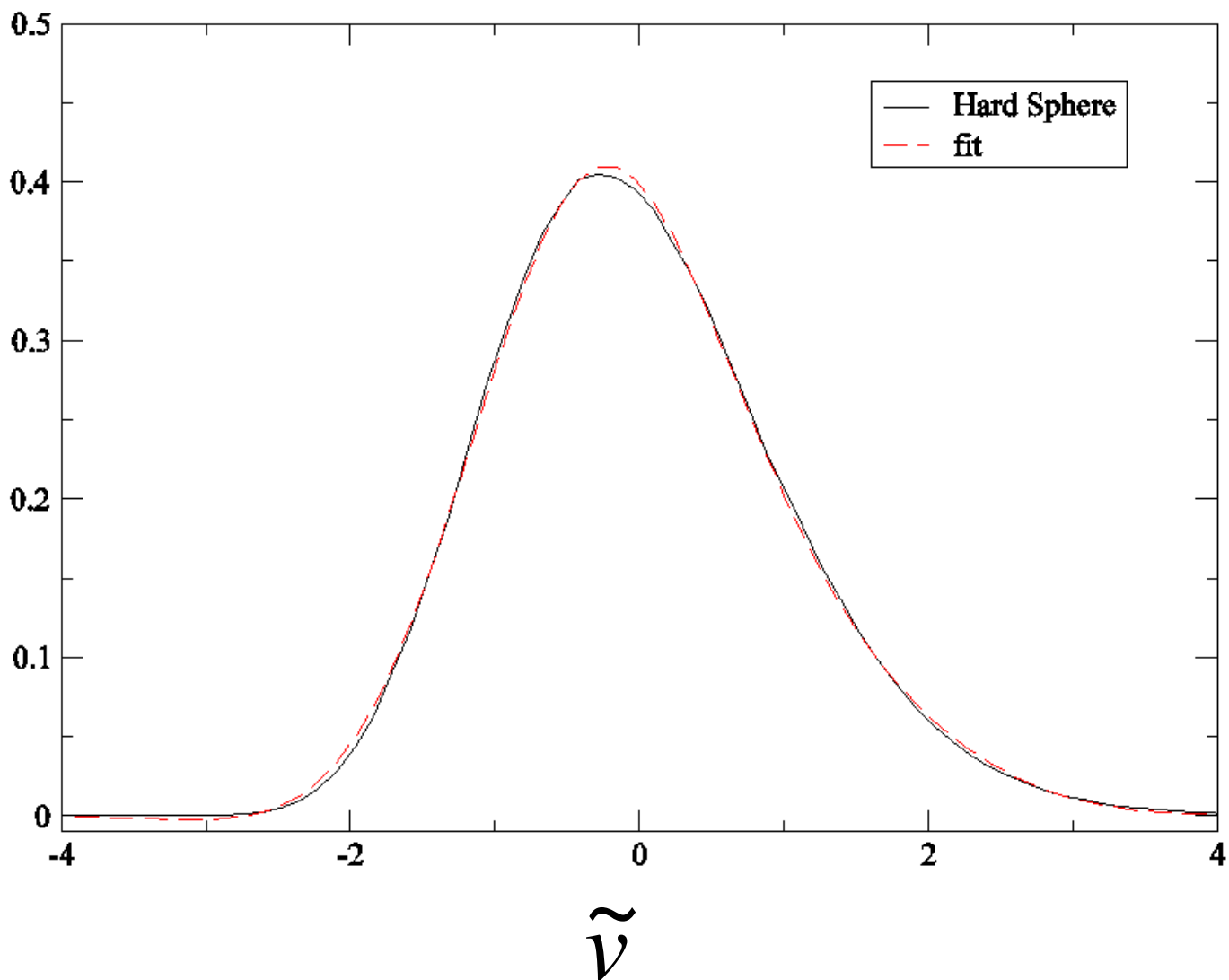


圖三十二、TLJ24-12 fluid的rescaling
Voronoi polyhedron體積分佈
， $T^*=1.0$ ， $\rho^*=0.8$

$\tilde{p}(\tilde{v})$

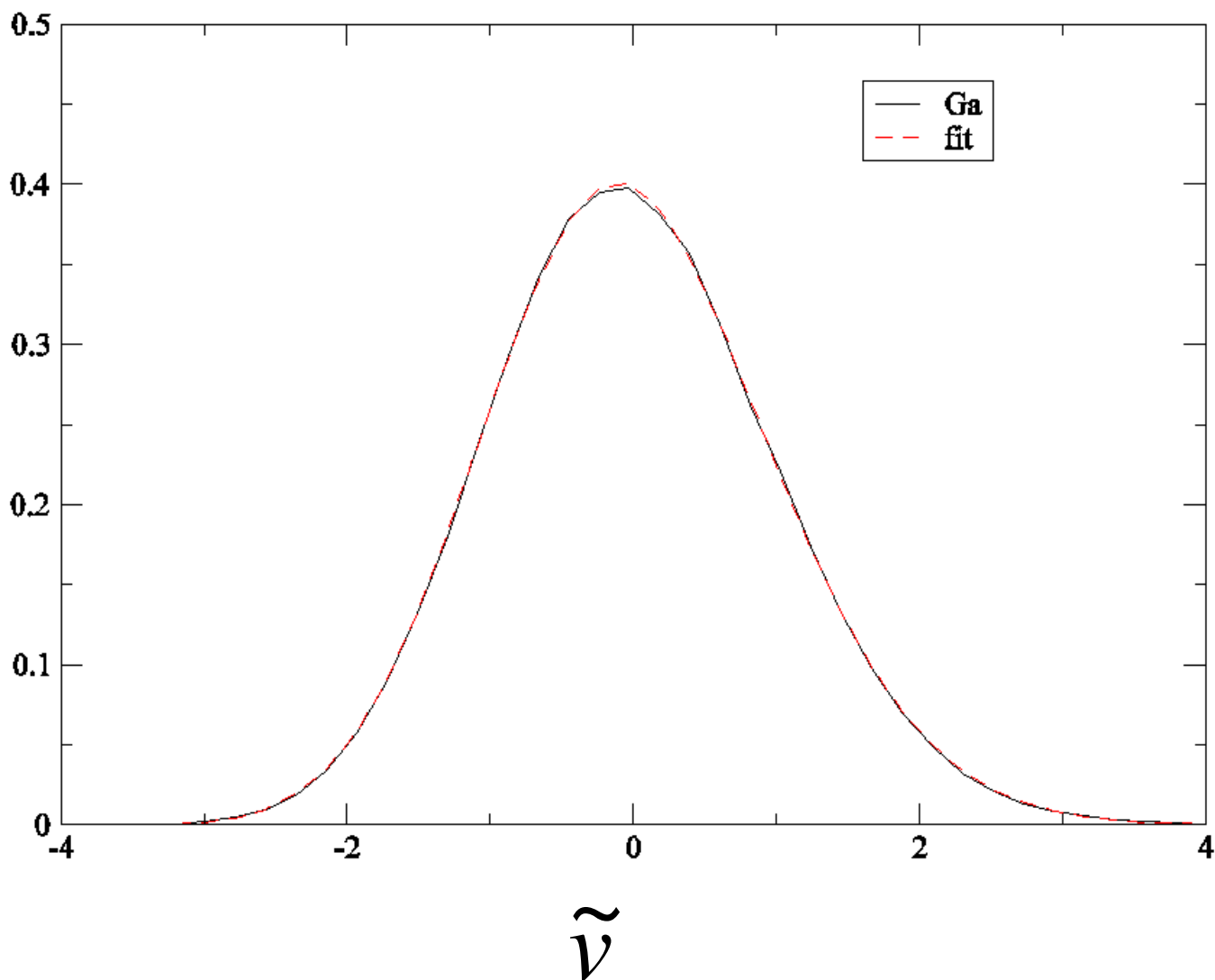


圖三十三、TLJ36-18 fluid的rescaling
Voronoi polyhedron體積分佈
， $T^*=1.0$ ， $\rho^*=0.8$

$\tilde{p}(\tilde{v})$ 

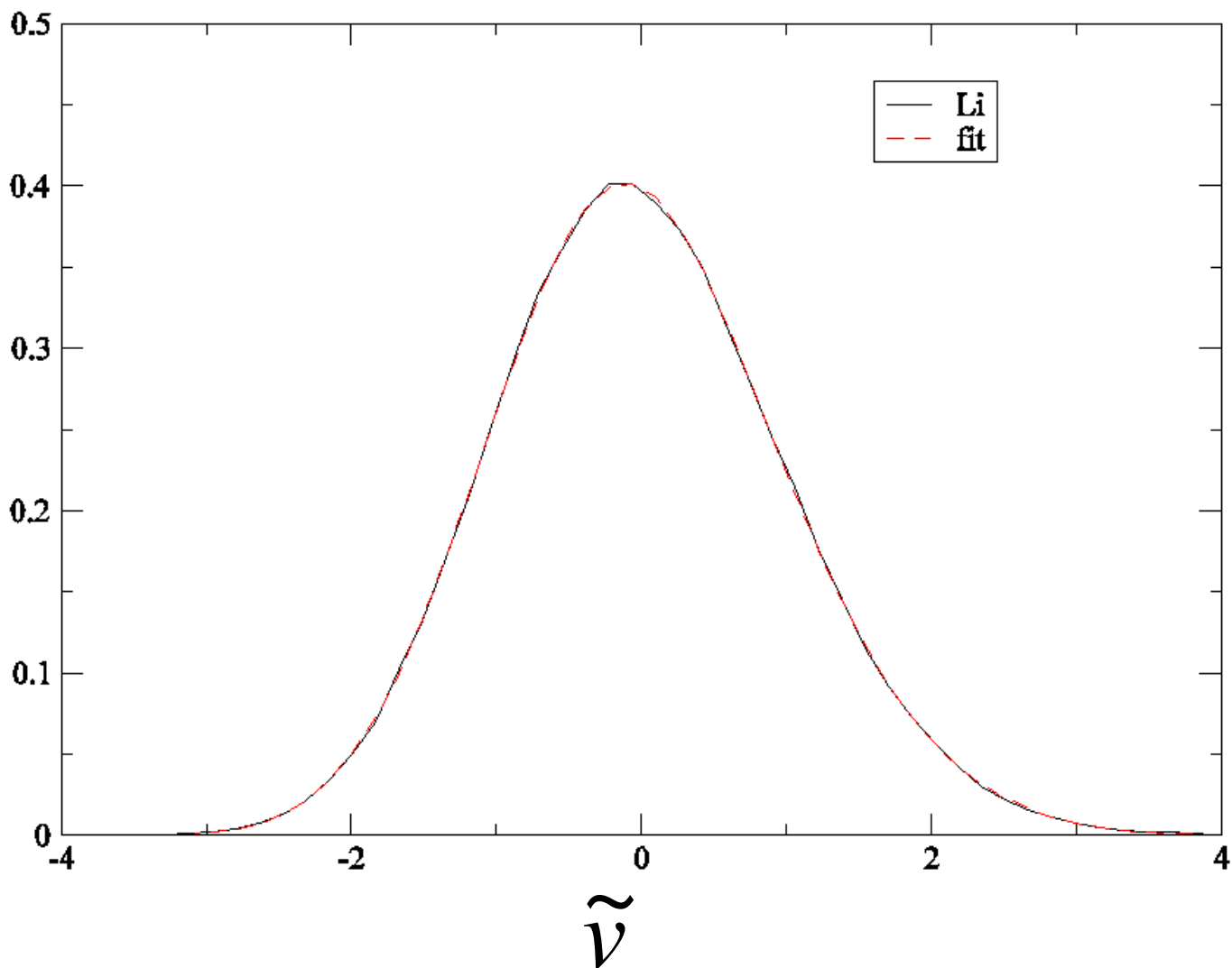
圖三十四、Hard Sphere fluid的rescaling
Voronoi polyhedron體積分
佈， $T^*=1.0$ ， $\rho^*=0.9$

$\tilde{p}(\tilde{v})$

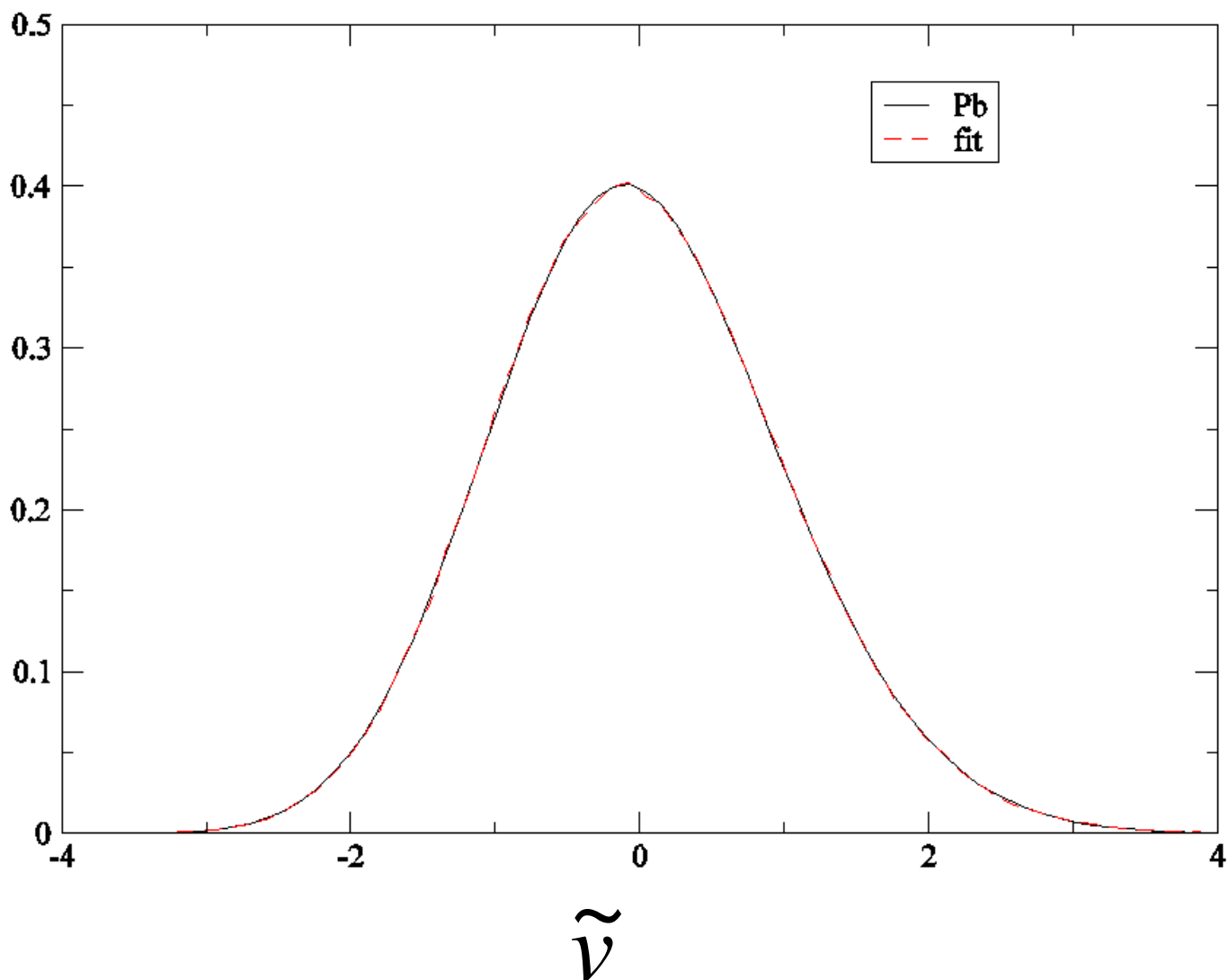


圖三十五、鎔的rescaling Voronoi polyhedron
體積分佈函數，T=473K

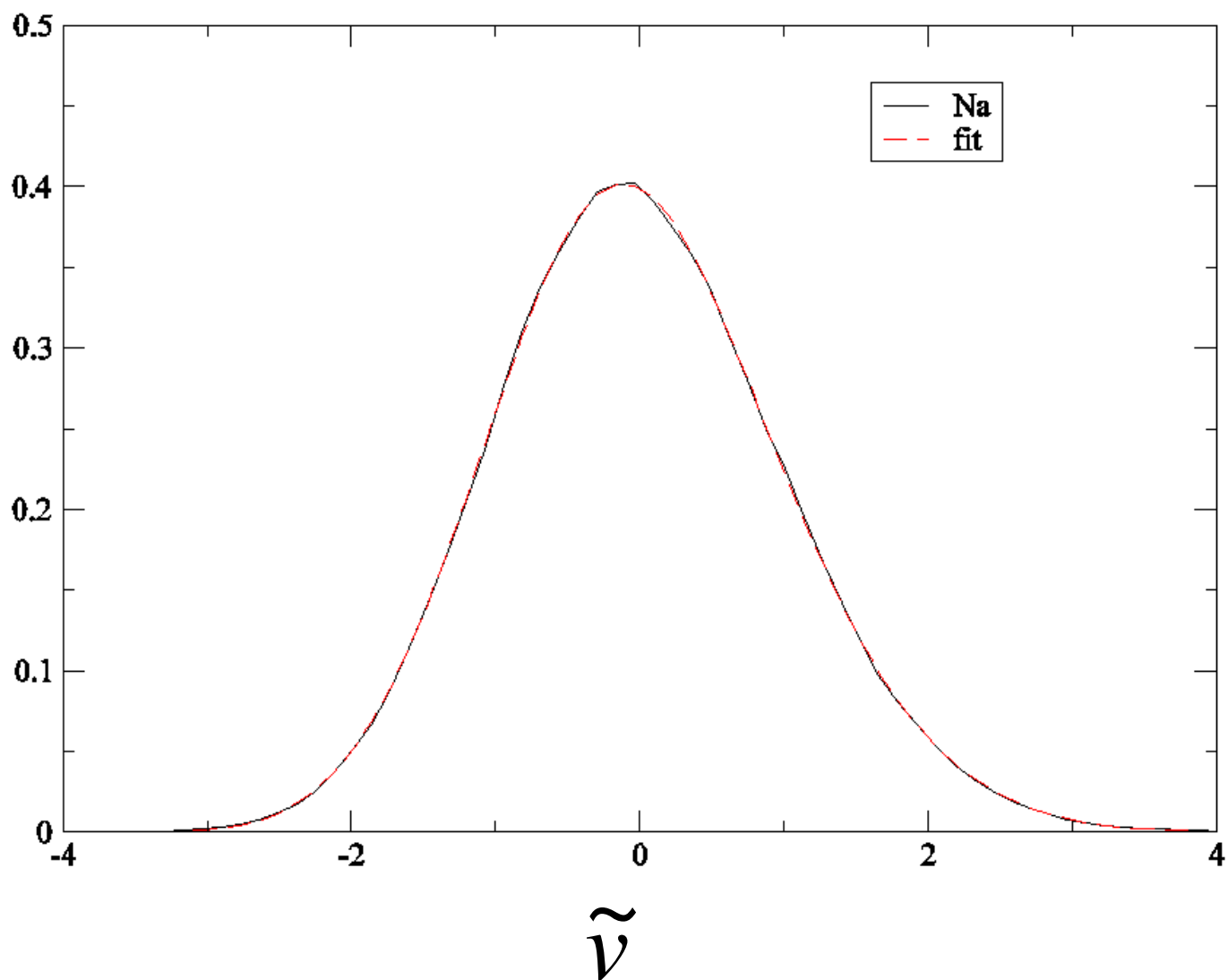
$\tilde{p}(\tilde{v})$



圖三十六、鋰的rescaling Voronoi polyhedron 體積分佈函數， $T=463\text{K}$

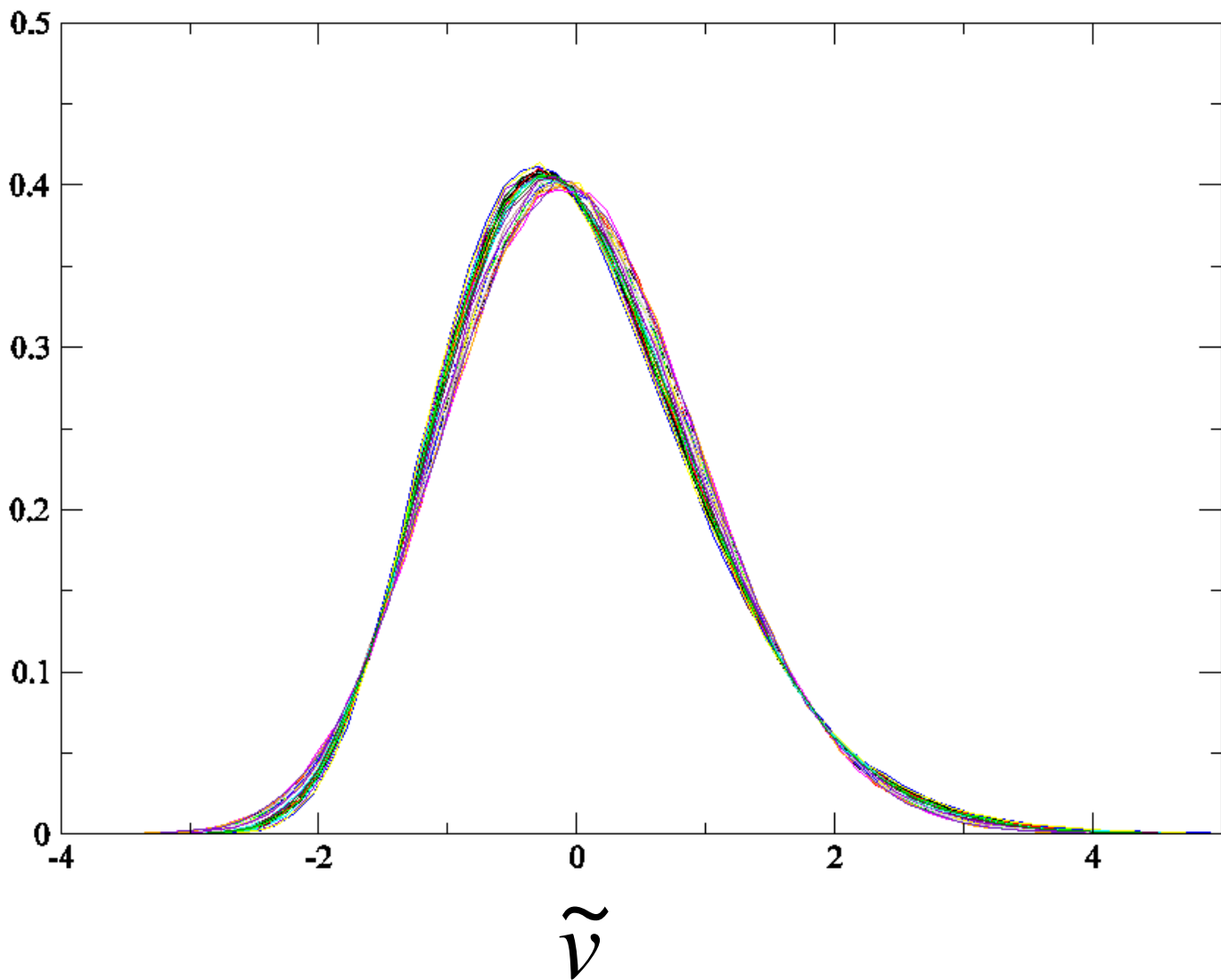
$\tilde{p}(\tilde{v})$ 

圖三十七、鉛的rescaling Voronoi polyhedron
體積分佈函數， $T=1173\text{K}$

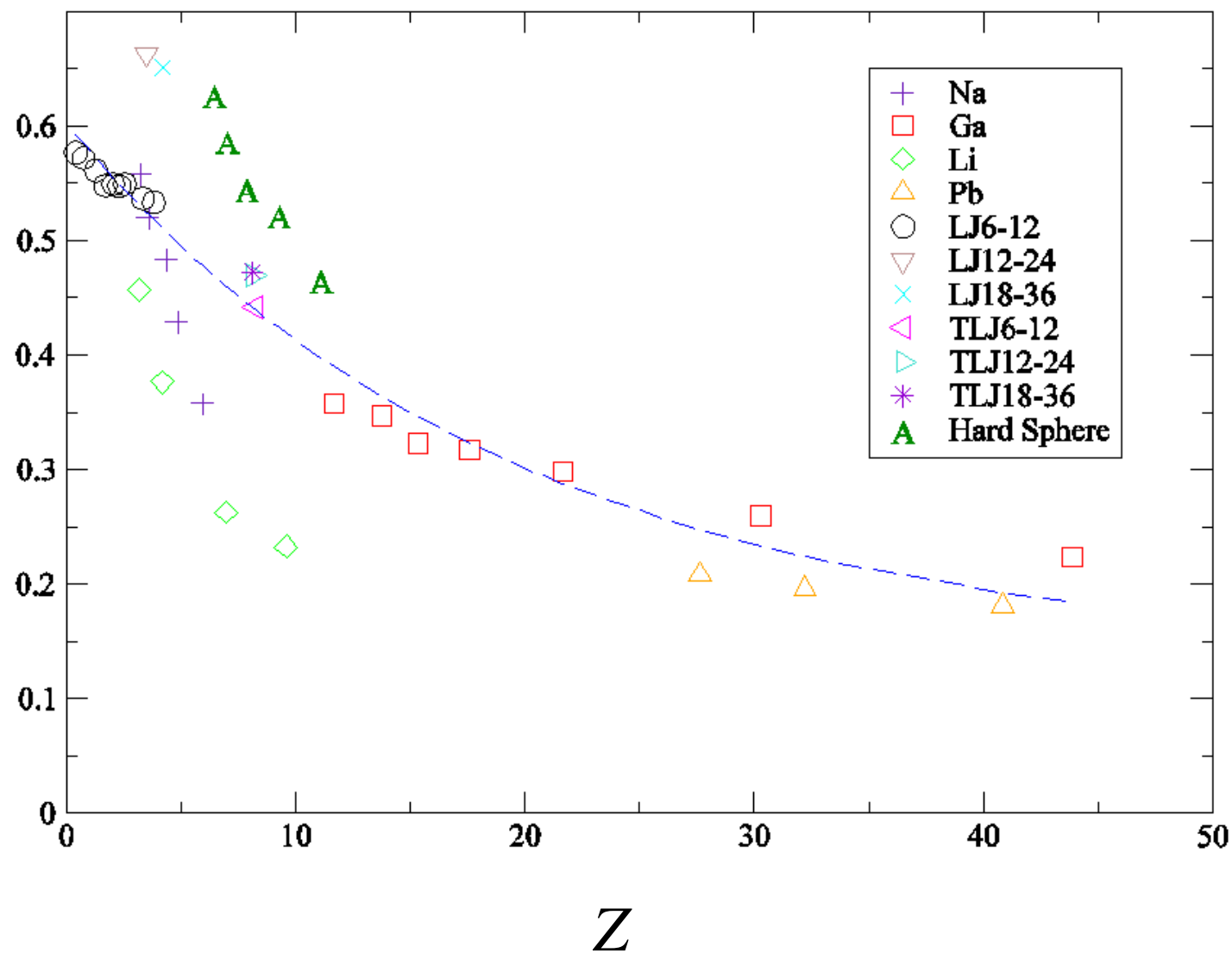
$\tilde{p}(\tilde{v})$ 

圖三十八、鈉的rescaling Voronoi polyhedron
體積分佈函數， $T=723\text{K}$

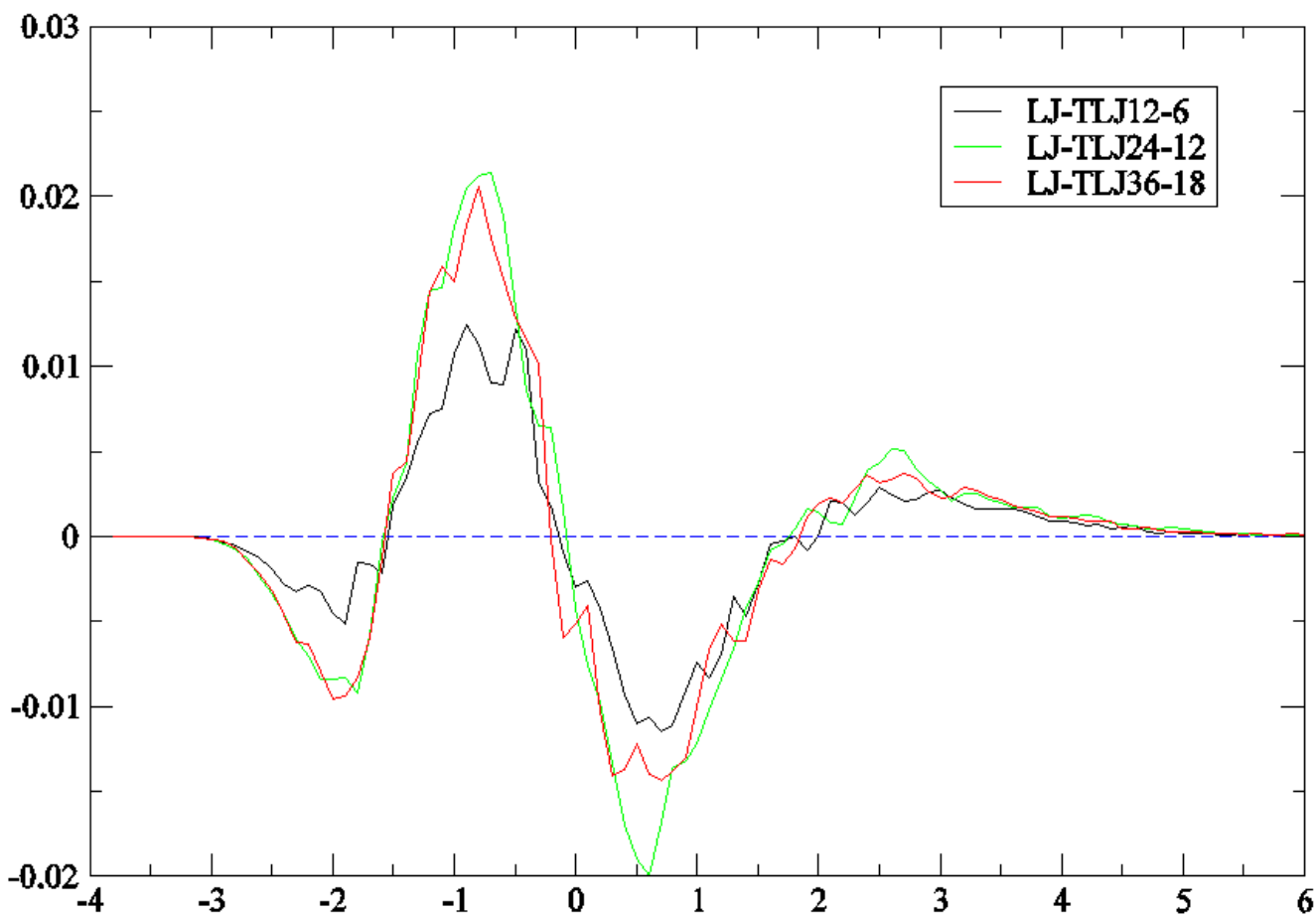
$\tilde{p}(\tilde{v})$



圖三十九、所有的液體的 rescaling Voronoi polyhedron 體積分佈

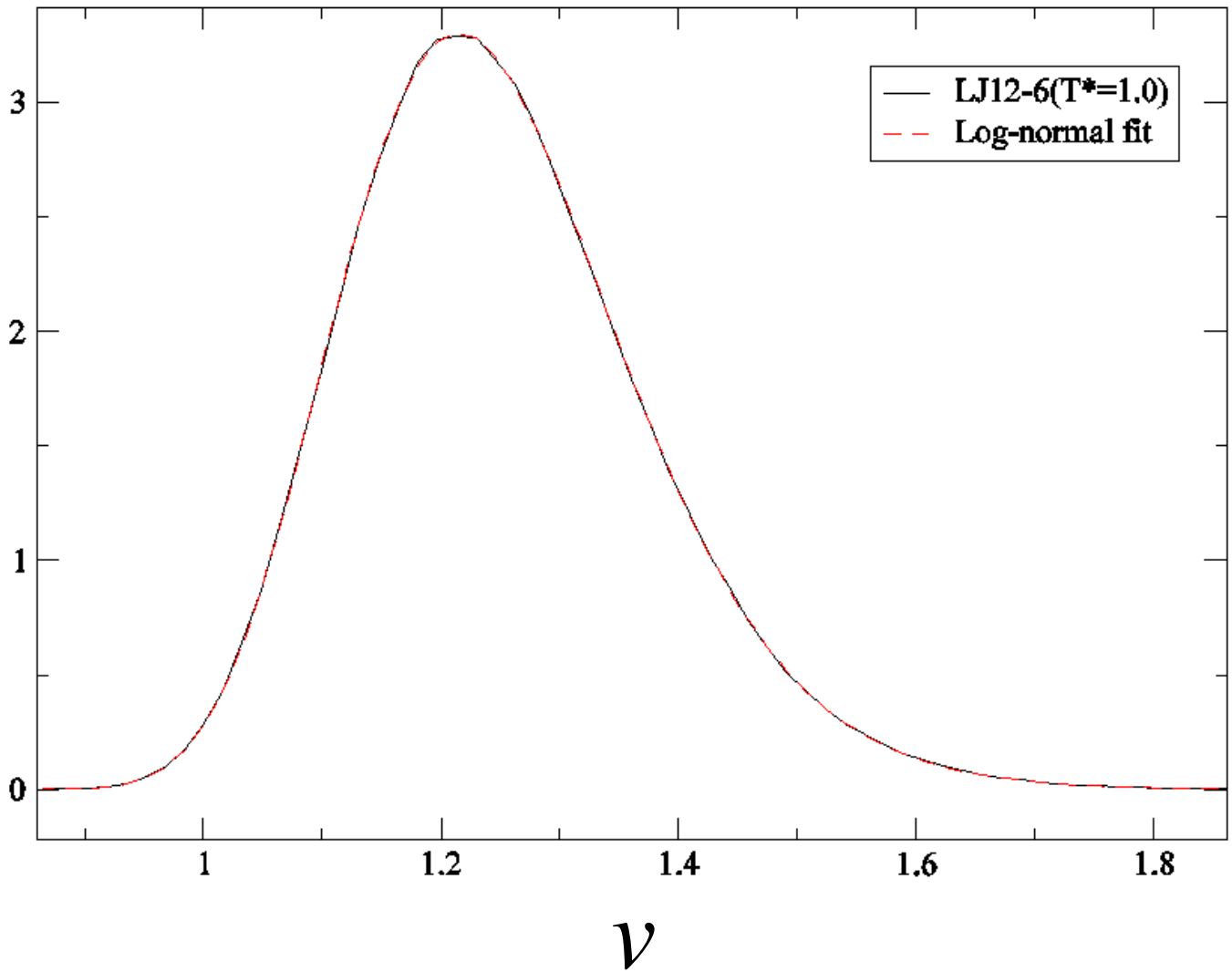
S 

圖四十、Voronoi體積分佈的skewness與compression factor 關係圖



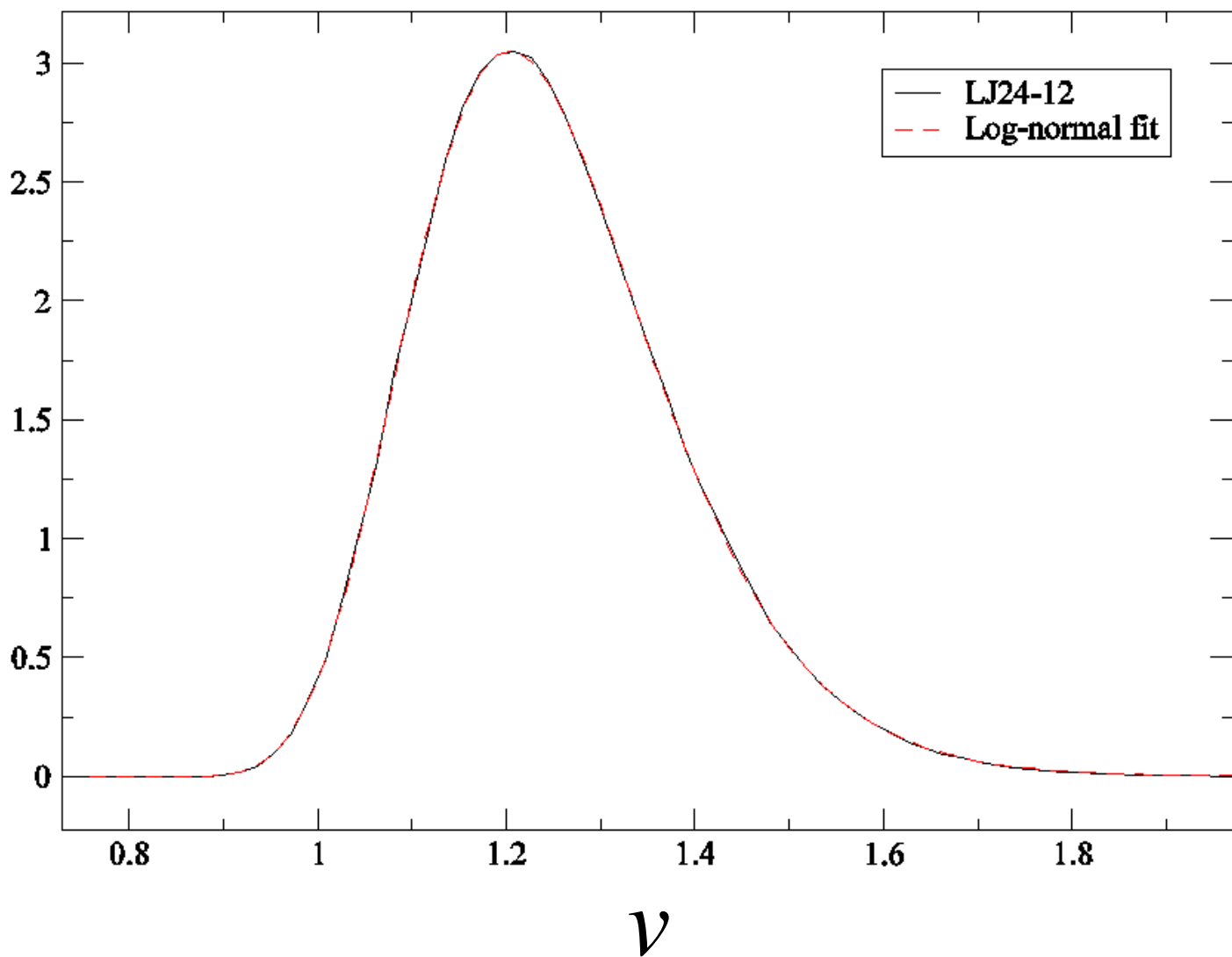
圖四十一、rescaling LJ2n-n Voronoi 體積分佈與rescaling TLJ2n-n Voronoi 體積分佈的相差

$p(v)$



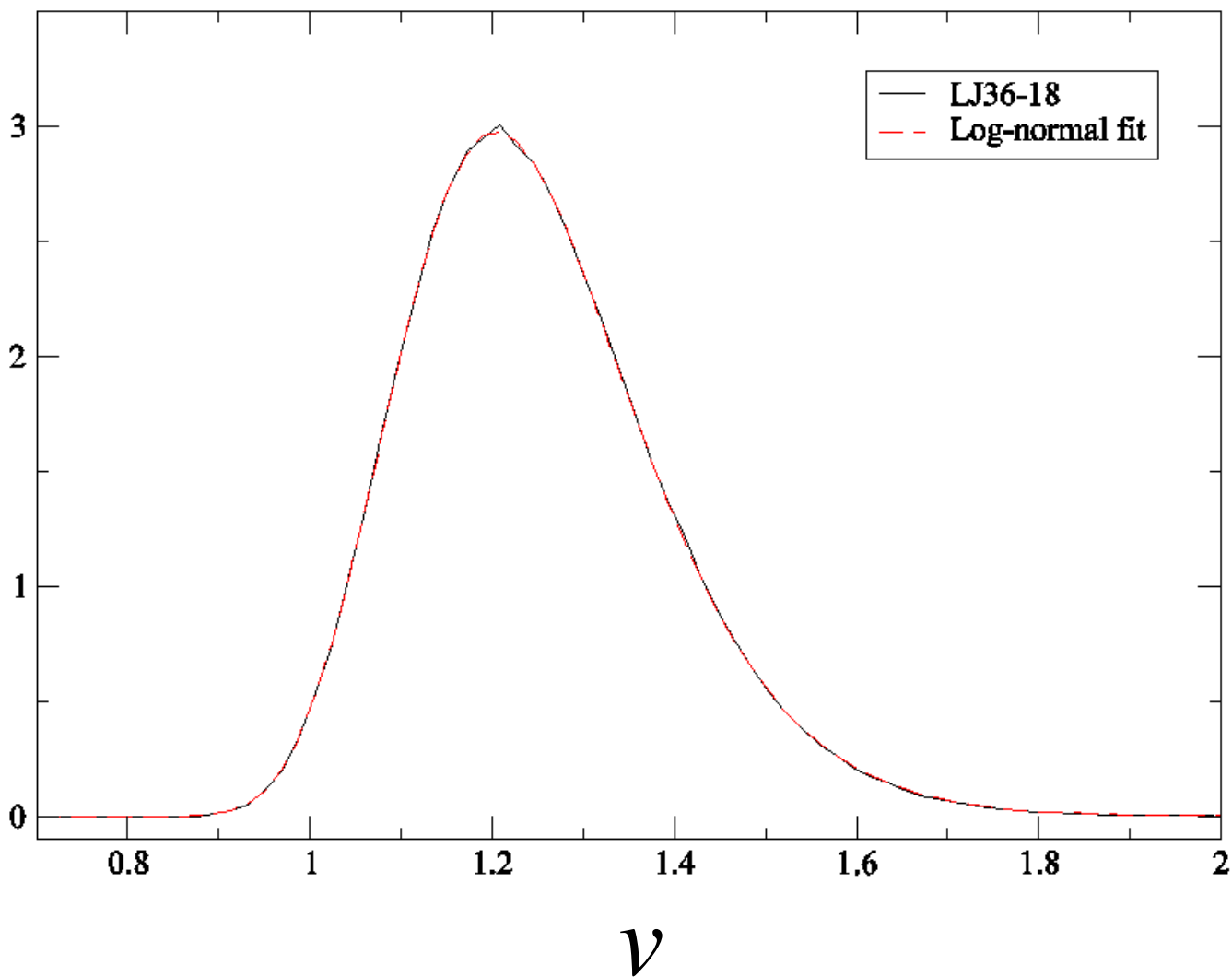
圖四十二、LJ12-6 fluid的 Voronoi 體積
分佈 & lognormal fitting

$p(v)$



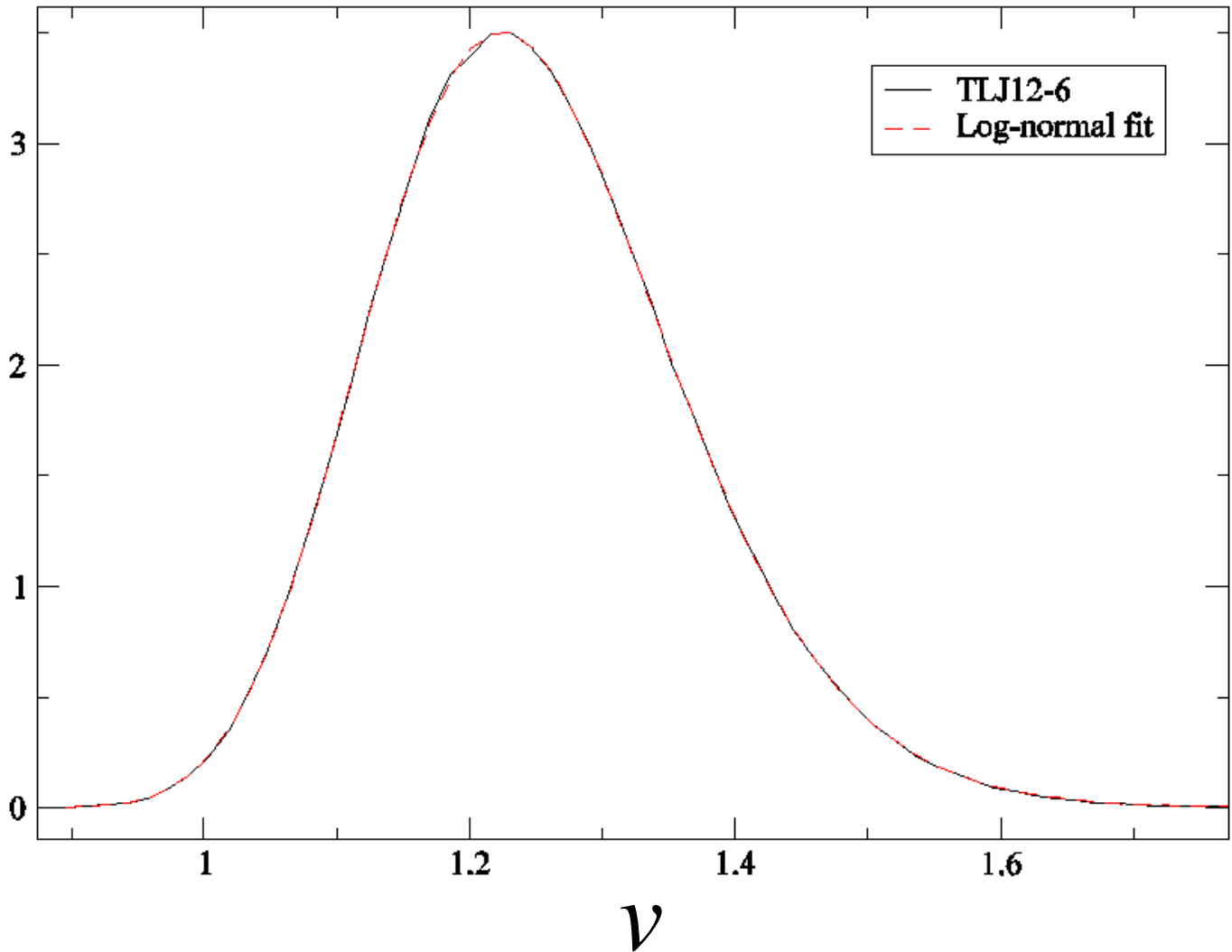
圖四十三、LJ24-12 fluid的 Voronoi 體積
分佈 & lognormal fitting

$p(v)$



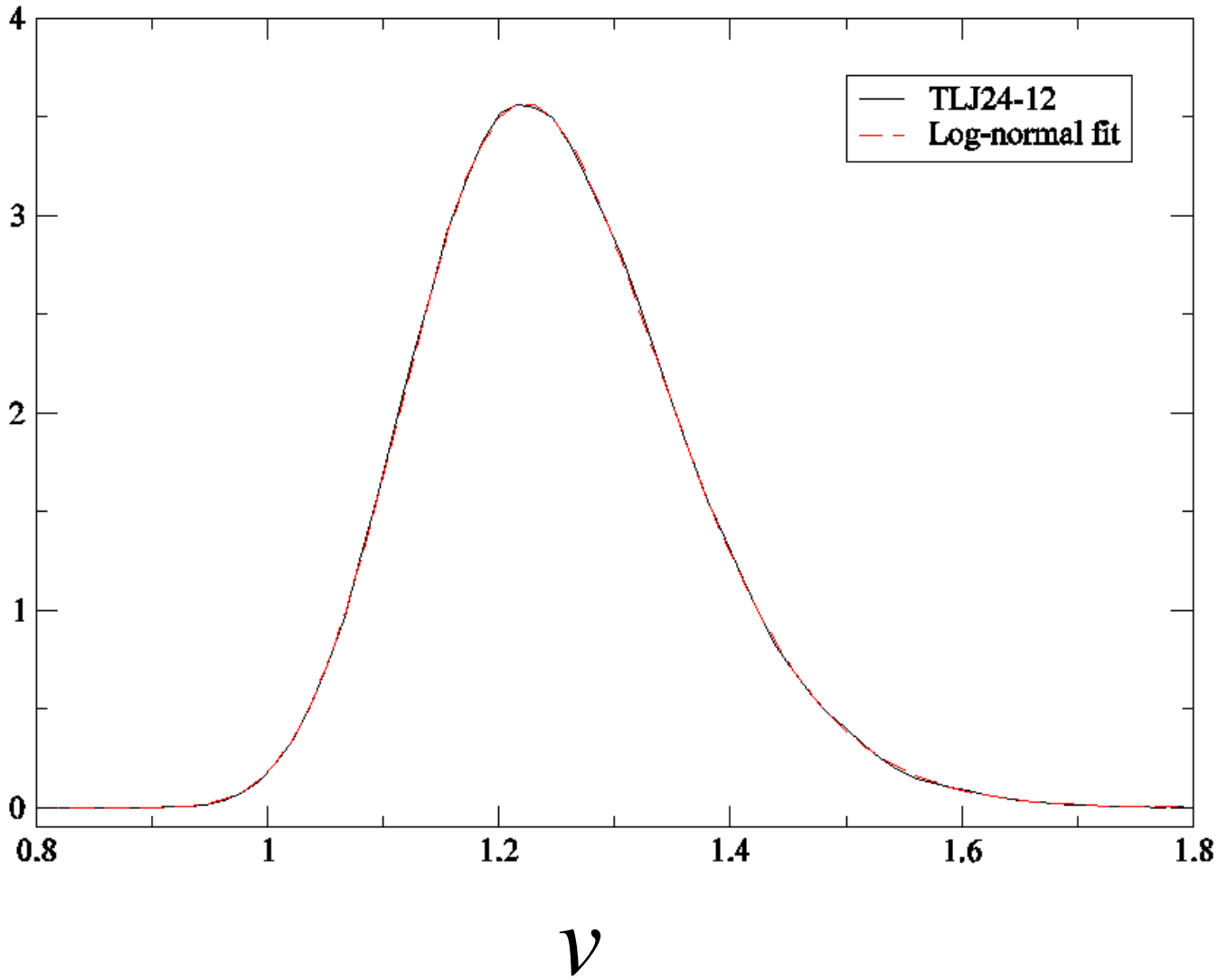
圖四十四、LJ36-18 fluid的 Voronoi 體積
分佈 & lognormal fitting

$p(v)$

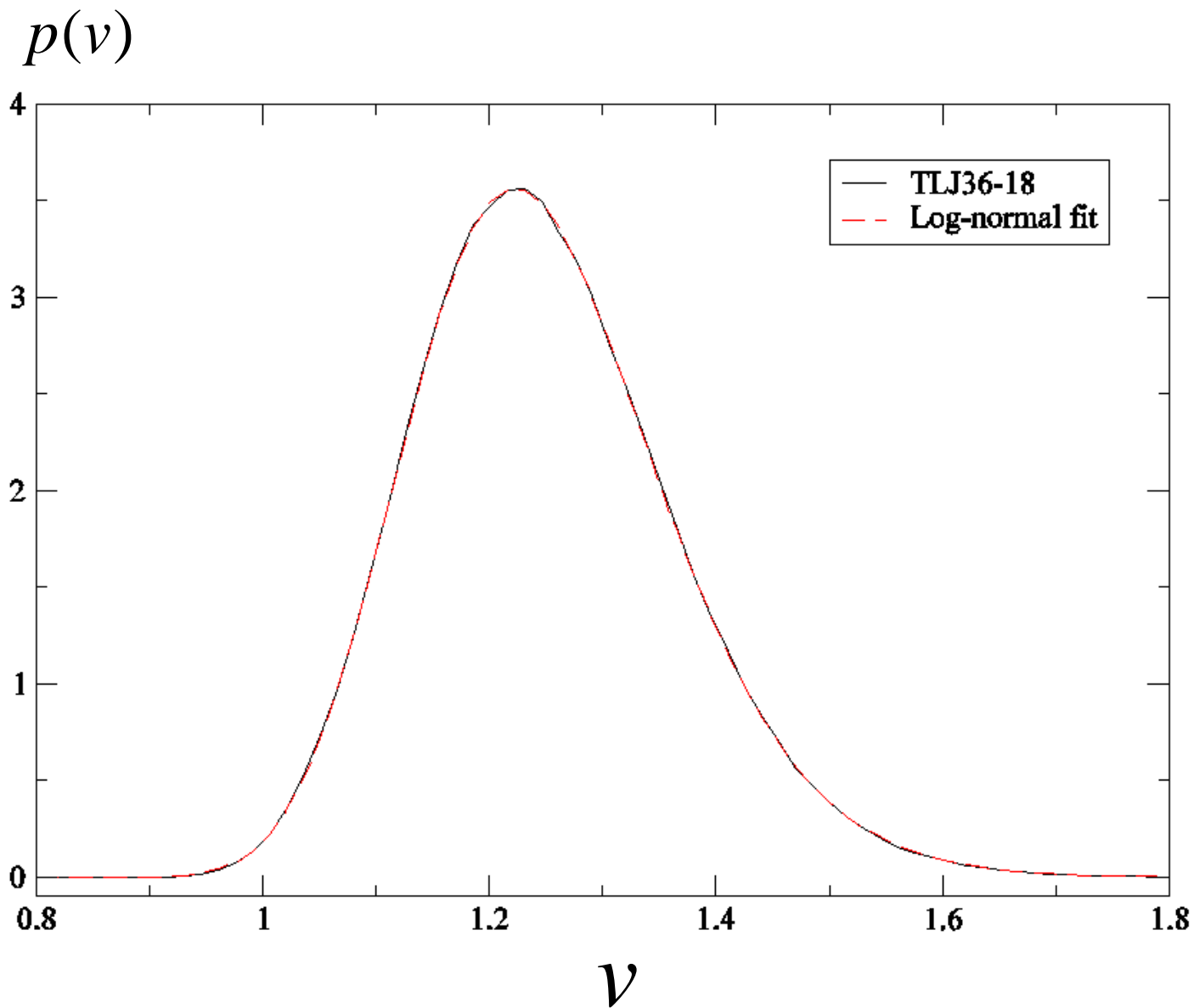


圖四十五、TLJ12-6 fluid的 Voronoi 體積分佈 & lognormal fitting

$p(v)$

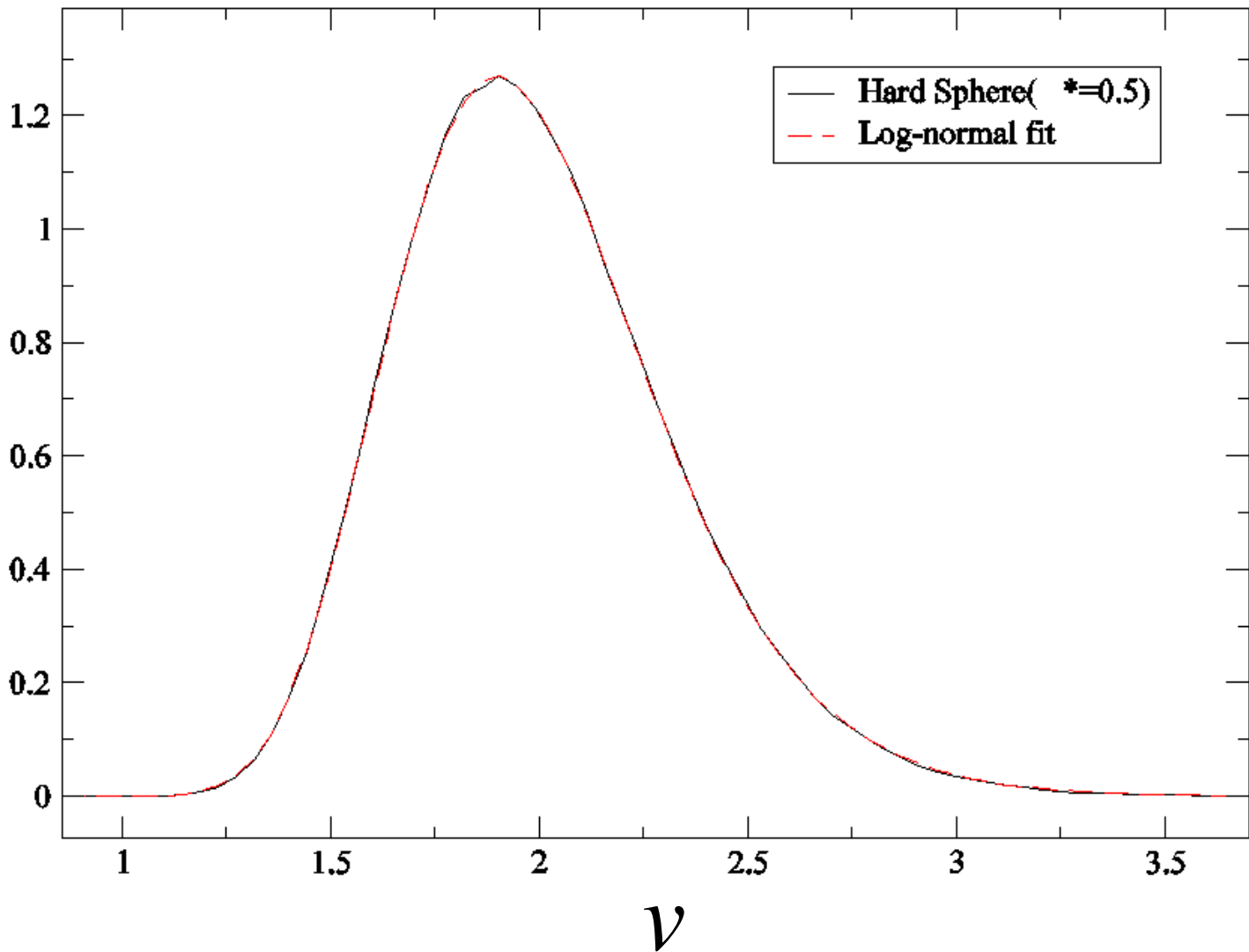


圖四十六、TLJ24-12 fluid的 Voronoi 體
積分佈 & lognormal fitting



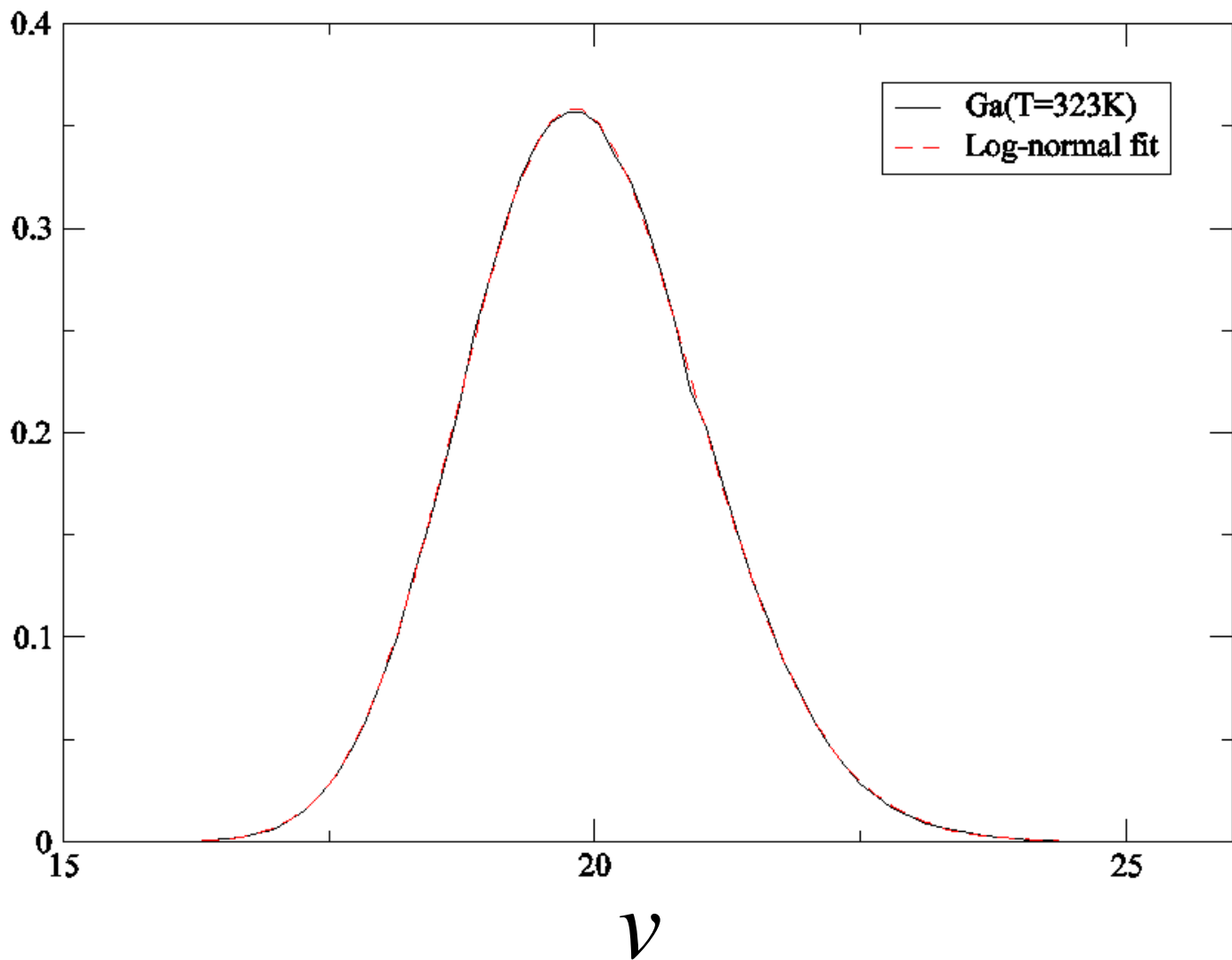
圖四十七、TLJ36-18 fluid的 Voronoi 體
積分佈 & lognormal fitting

$p(v)$



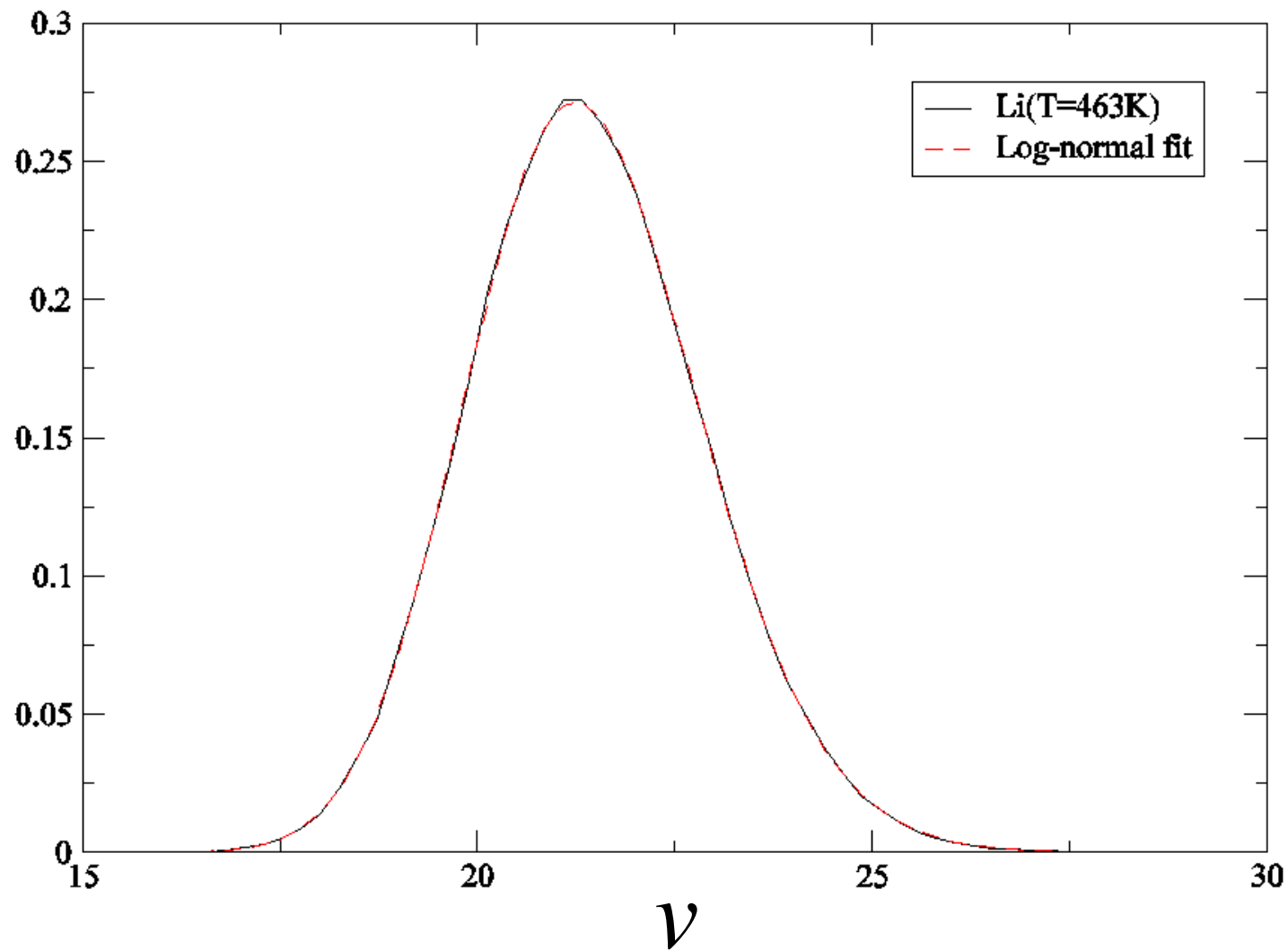
圖四十八、Hard Sphere fluid的 Voronoi 體積分佈 & lognormal fitting

$p(v)$



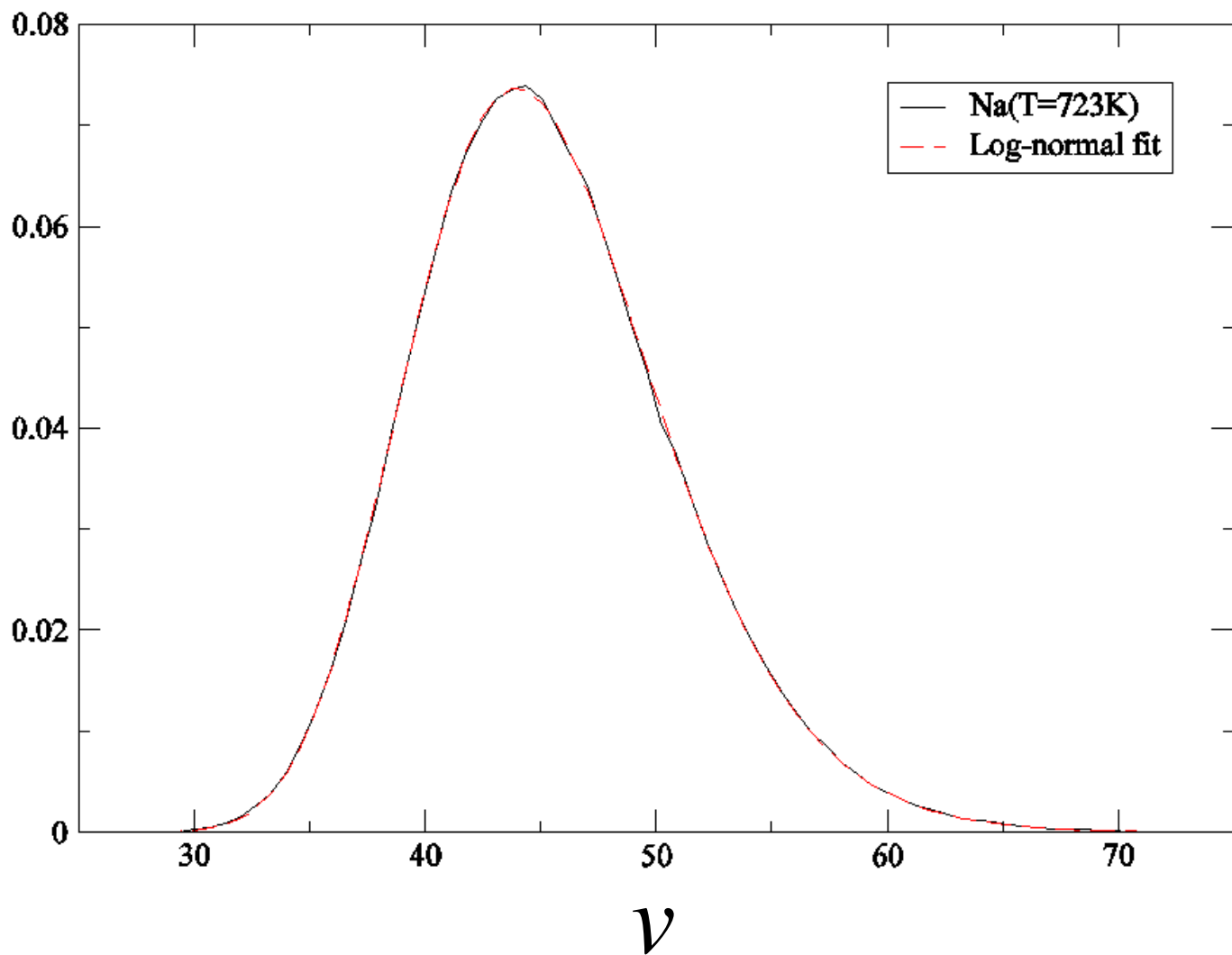
圖四十九、鎔的 Voronoi 體積分佈函數
& lognormal fitting

$p(v)$



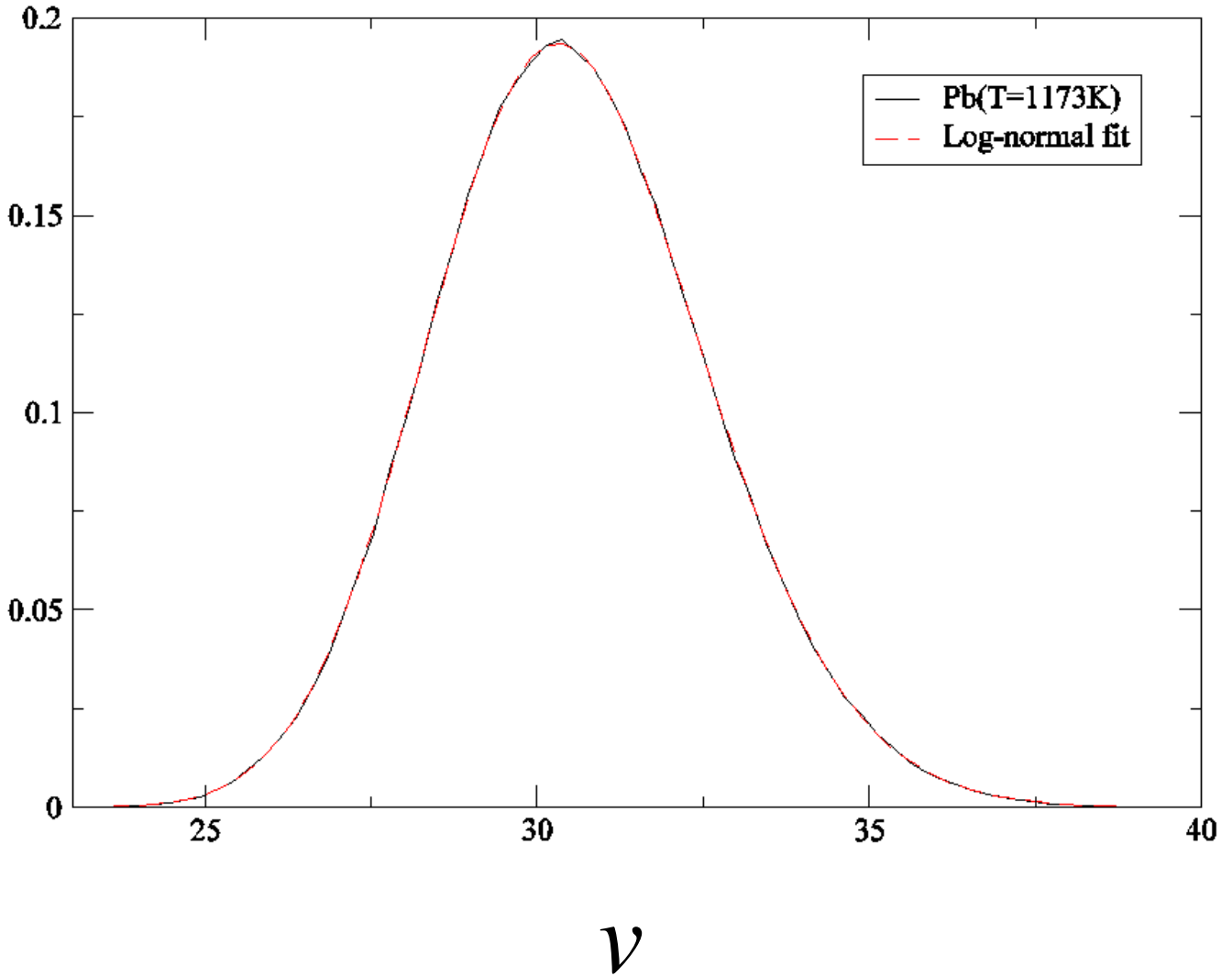
圖五十、鋰的 Voronoi 體積分佈函數 & lognormal fitting

$p(v)$



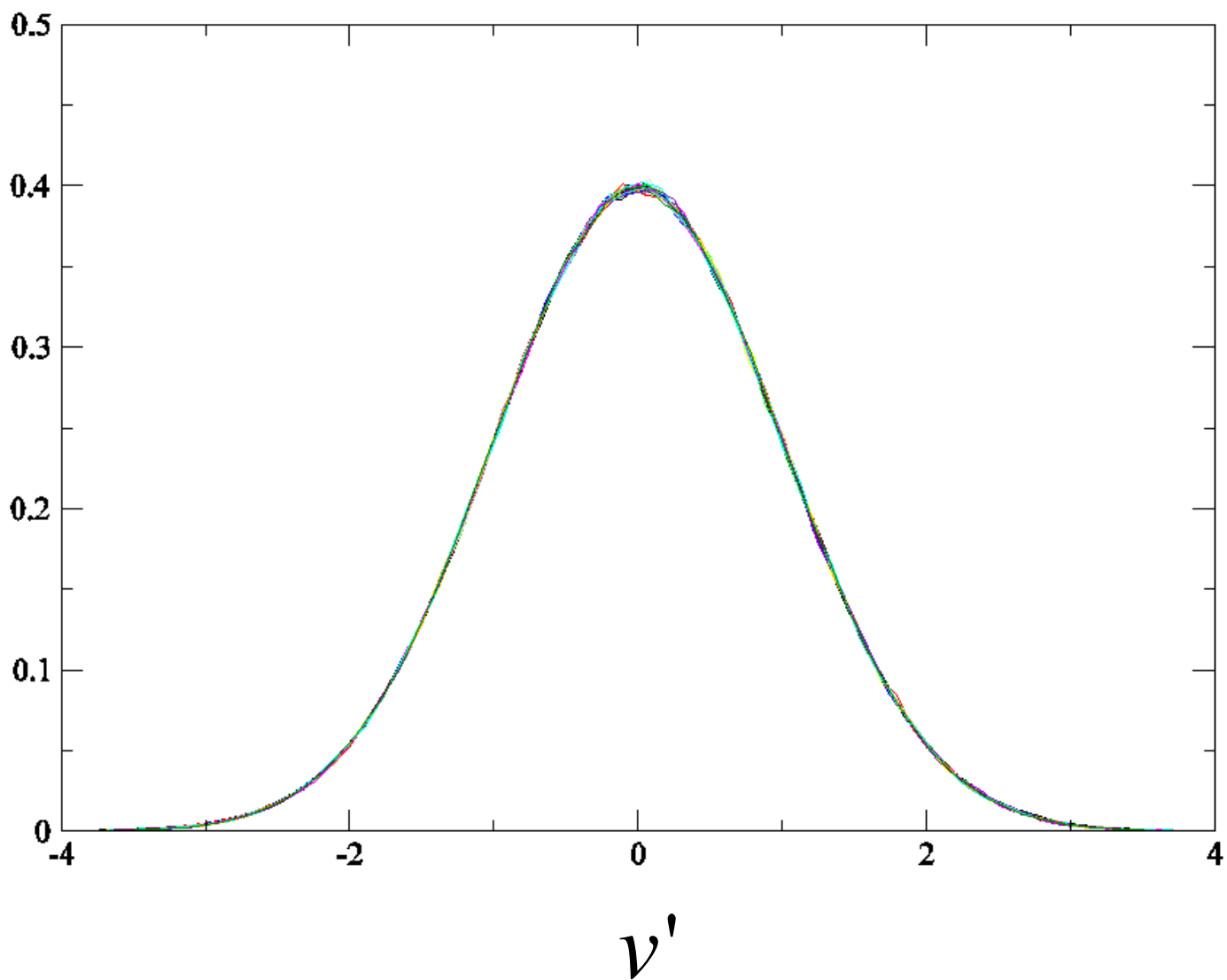
圖五十一、鈉的 Voronoi 體積分佈函數
& lognormal fitting

$p(v)$



圖五十二、鉛的 Voronoi 體積分佈函數 & lognormal fitting

$p'(v')$



圖五十三、所有的液體的 Log-rescaling
Voronoi polyhedron 體積分佈